

# ゲームグラフィックス特論

---

第7回 高度な陰影付け

# 物理的に正確な照明計算

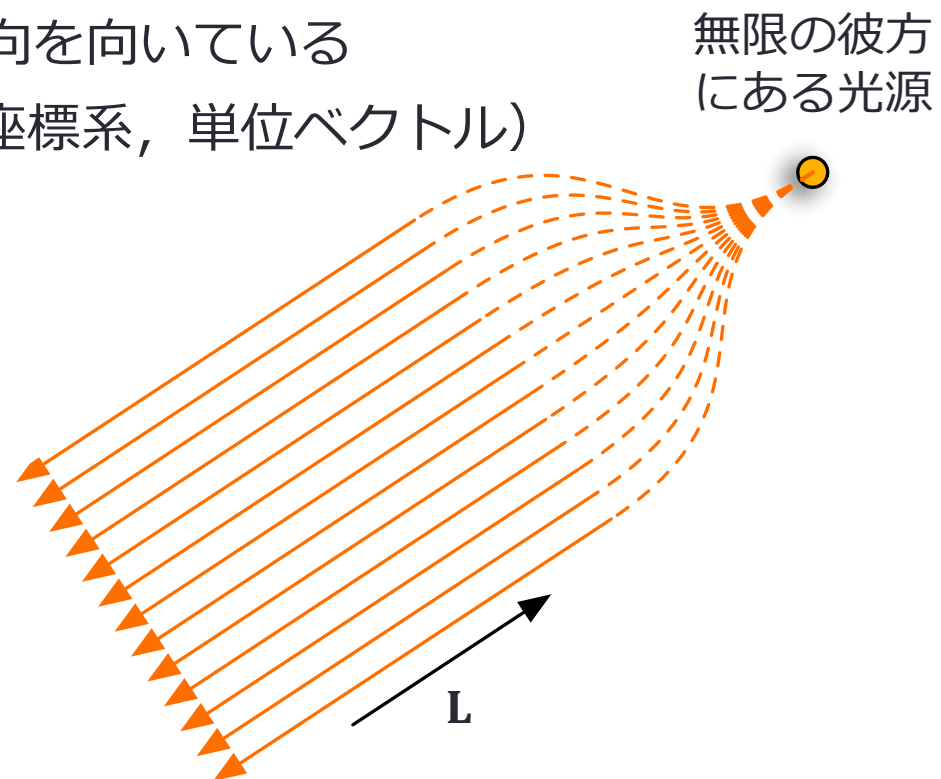
---

放射照度 (Irradiance) と放射輝度 (Radiance)

# 平行光源 (directional lights)

- ・ 単一方向に進む光

- ・ 太陽のように極端に遠方にある光源
- ・ シーン中のどこでも同じ方向を向いている
- ・ 光線ベクトル  $L$  (ワールド座標系, 単位ベクトル)
  - ・ 光線の進行方向とは逆

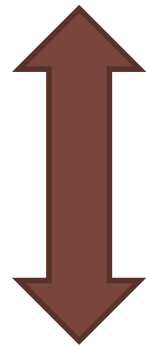


# 放射束 (radian flux)

- ・単位時間当たりのエネルギー

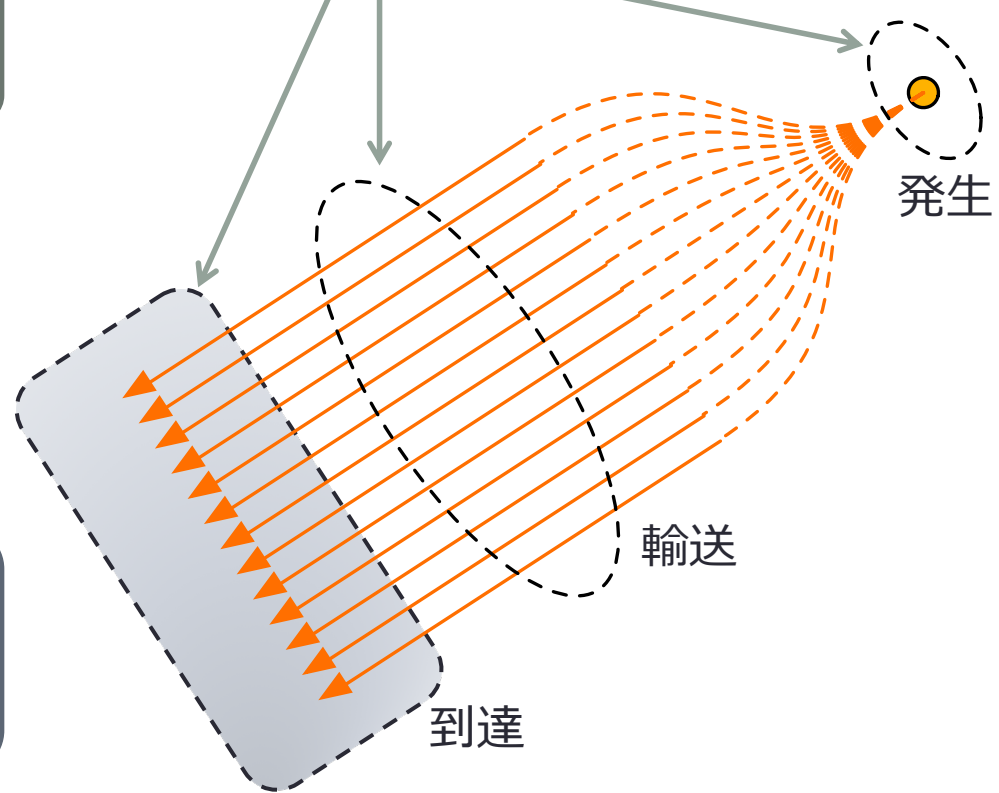
- ・単位 W (ワット)

$W = J/s$   
 1秒あたりのエネルギー



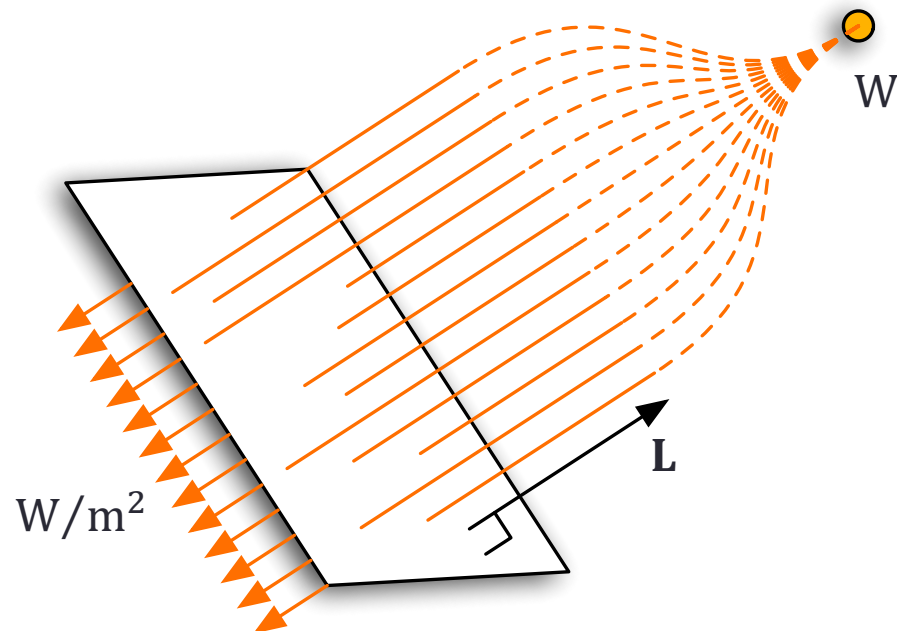
「光束」は人間の目で  
 観測される光の強さ  
 単位 lm (ルーメン)

エネルギー量は同じ



# 放射照度 (irradiance)

- $L$  と直交する平面を通過する単位面積あたりのエネルギー
  - 単位  $W/m^2$

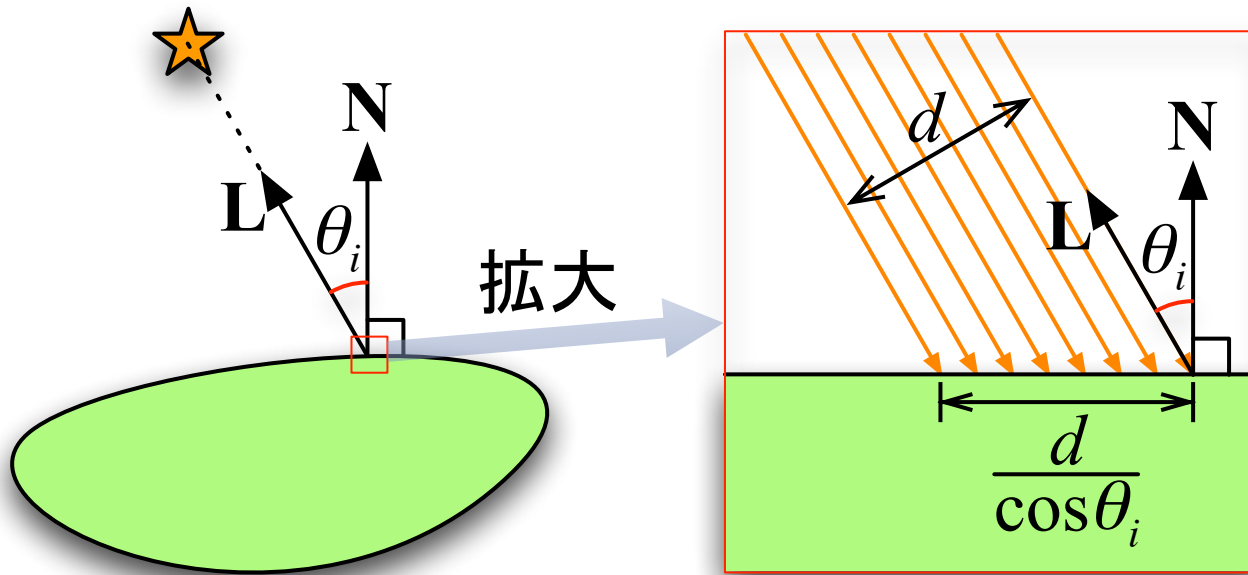


# 面の照度

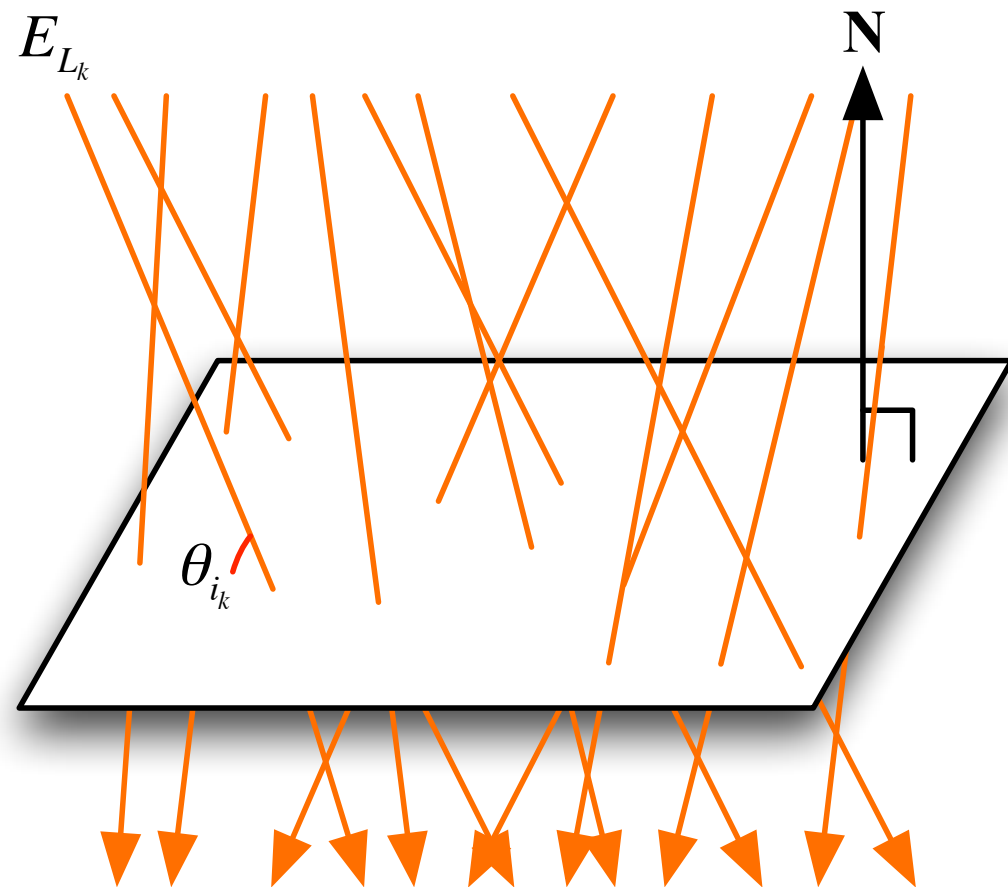
- 面の法線ベクトル  $\mathbf{N}$
- $\mathbf{N}$  と  $\mathbf{L}$  のなす角  $\theta_i$
- $\mathbf{N}$  と直交する面の照度  $E$
- $\mathbf{L}$  と直交する面の照度  $E_L$

$$E = E_L \overline{\cos} \theta_i$$

$$\begin{aligned}\overline{\cos} \theta_i &= \max(\cos \theta_i, 0) \\ &= \max(\mathbf{N} \cdot \mathbf{L}, 0)\end{aligned}$$



# 任意の方向から入射する光の照度

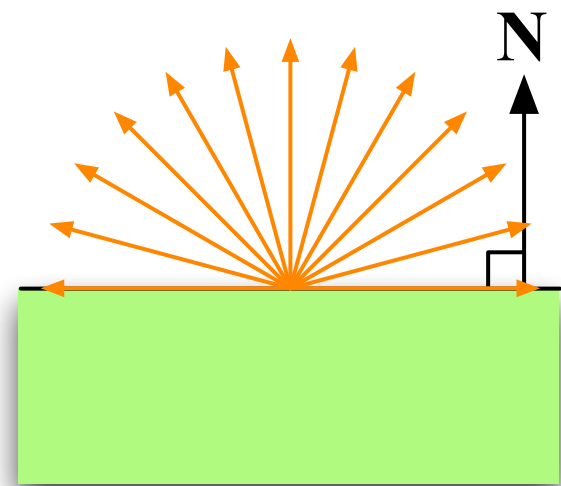


$$E = \sum_{k=1}^n E_{l_k} \cos \theta_{i_k}$$

合計になる

# 放射発散度 (radian exitance)

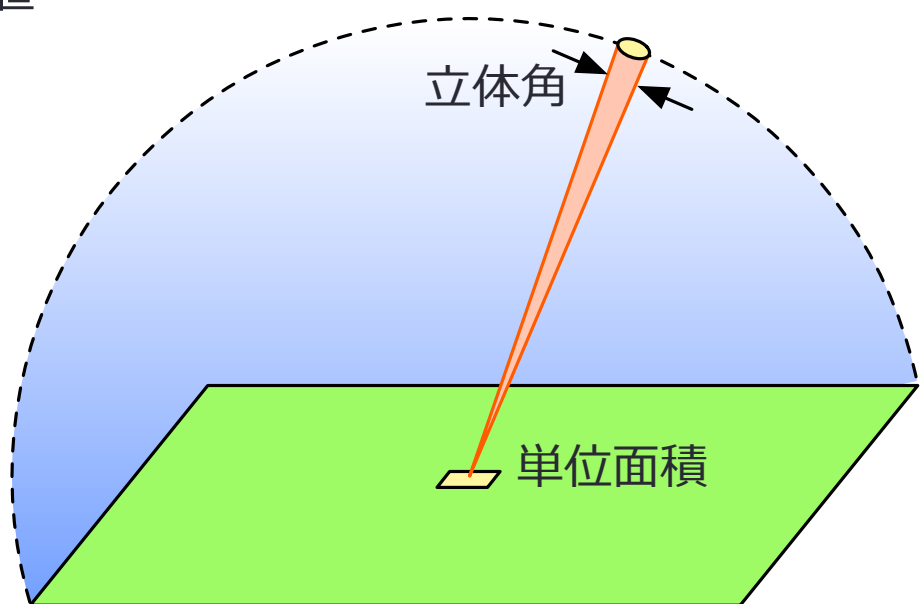
- 平面から放射される単位面積あたりのエネルギー
  - 単位  $\text{W/m}^2$
- 入射光の照度は面の放射照度で計測する
- 反射光の照度は放射発散度で計測する
- 面の色  $c$ 
  - $c = \frac{\text{放射発散度}}{\text{放射照度}}$ 
    - 0 ~ 1 の値を持つ
    - 色によって異なる
    - CG では RGB のベクトルで表す



# 放射輝度 (radiance)

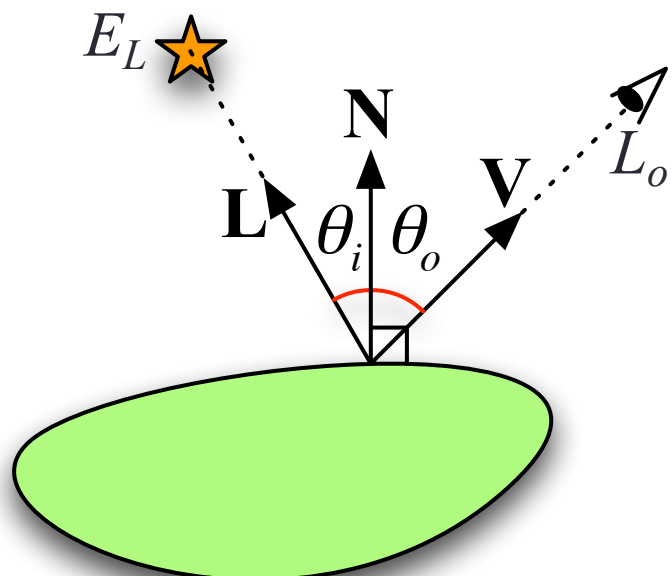
- ある点からある方向に放射されるエネルギー
  - 単位  $\text{W}/\text{sr} \cdot \text{m}^2$ 
    - sr : ステラジアン (立体角)
    - 単位面積あたりに入射する放射点の単位立体角あたりのエネルギー
  - 一本の光線の明るさと色の計測値

レンダリングは放射輝度を実際の画像系と同様に計測 (計算) すること



# 陰影付け

- 材質特性（マテリアル）と光源情報をもとに視線ベクトル  $\mathbf{v}$  方向の放射輝度  $L_o$  を計算する



# 拡散反射光の放射輝度

入射光の放射照度  $E_L$

**拡散反射光の放射発散度**  $M_{diff}$

**拡散反射色**  $c_{diff}$

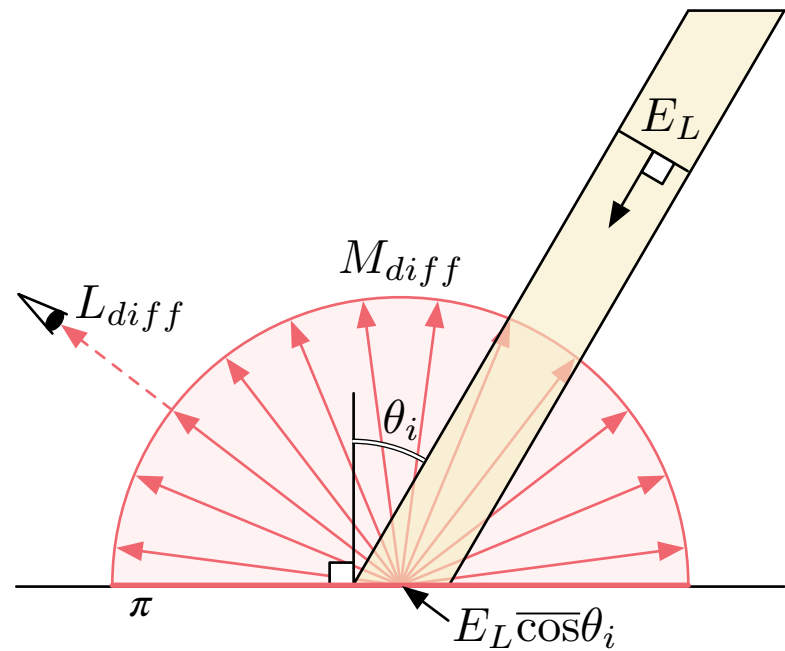
**拡散反射光の放射輝度**  $L_{diff}$

要素ごとの積  $\otimes$

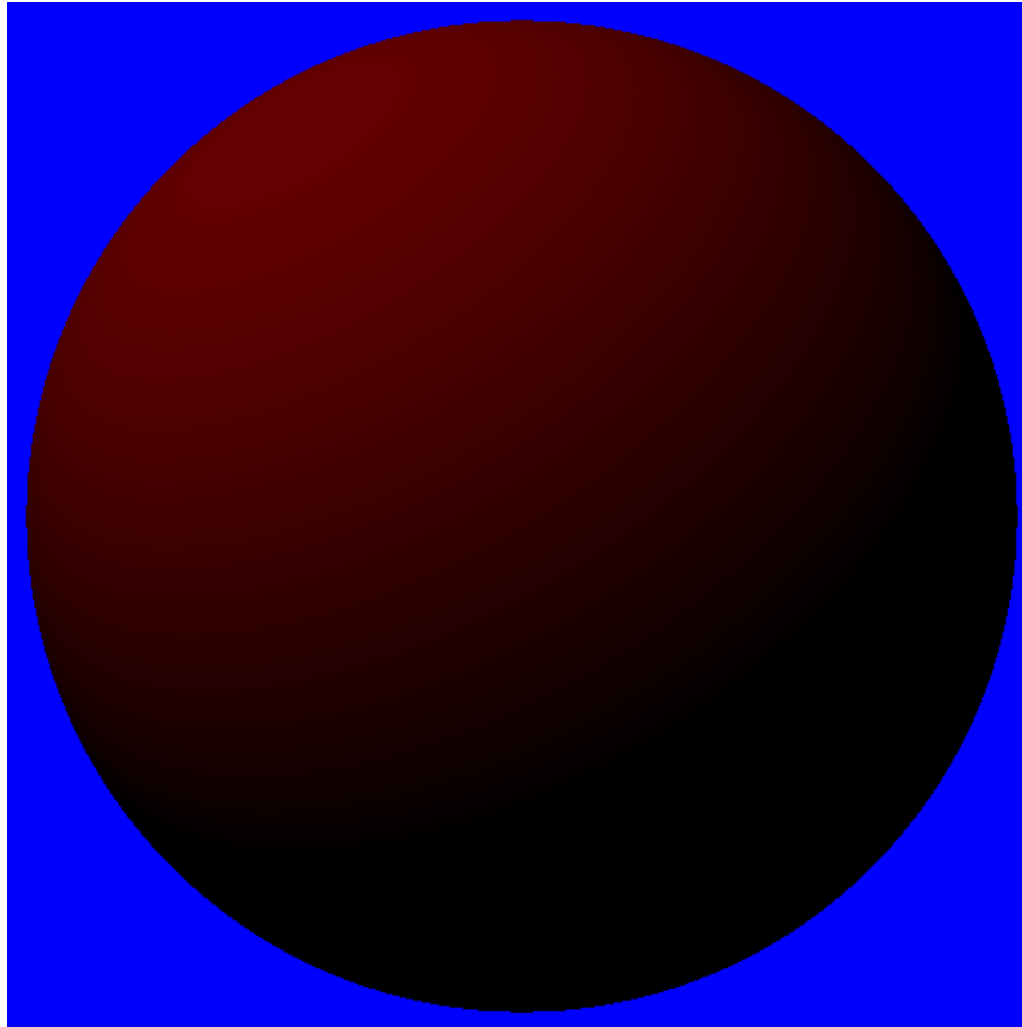
$$M_{diff} = c_{diff} \otimes E_L \overline{\cos} \theta_i$$

$$L_{diff} = \frac{M_{diff}}{\pi}$$

$$= \frac{c_{diff}}{\pi} \otimes E_L \overline{\cos} \theta_i$$



# 拡散反射光による陰影



# 鏡面反射光の放射輝度

入射光の放射照度  $E_L$

鏡面反射光の放射発散度  $M_{spec}$

鏡面反射色  $c_{spec}$

鏡面反射光の放射輝度  $L_{spec}$

光線ベクトル  $\mathbf{L}$   
視線ベクトル  $\mathbf{V}$

$\mathbf{L}$   
 $\mathbf{V}$

中間ベクトル  $\mathbf{H} = \frac{\mathbf{L} + \mathbf{V}}{|\mathbf{L} + \mathbf{V}|}$

$$M_{spec} = c_{spec} \otimes E_L \overline{\cos} \theta_i$$

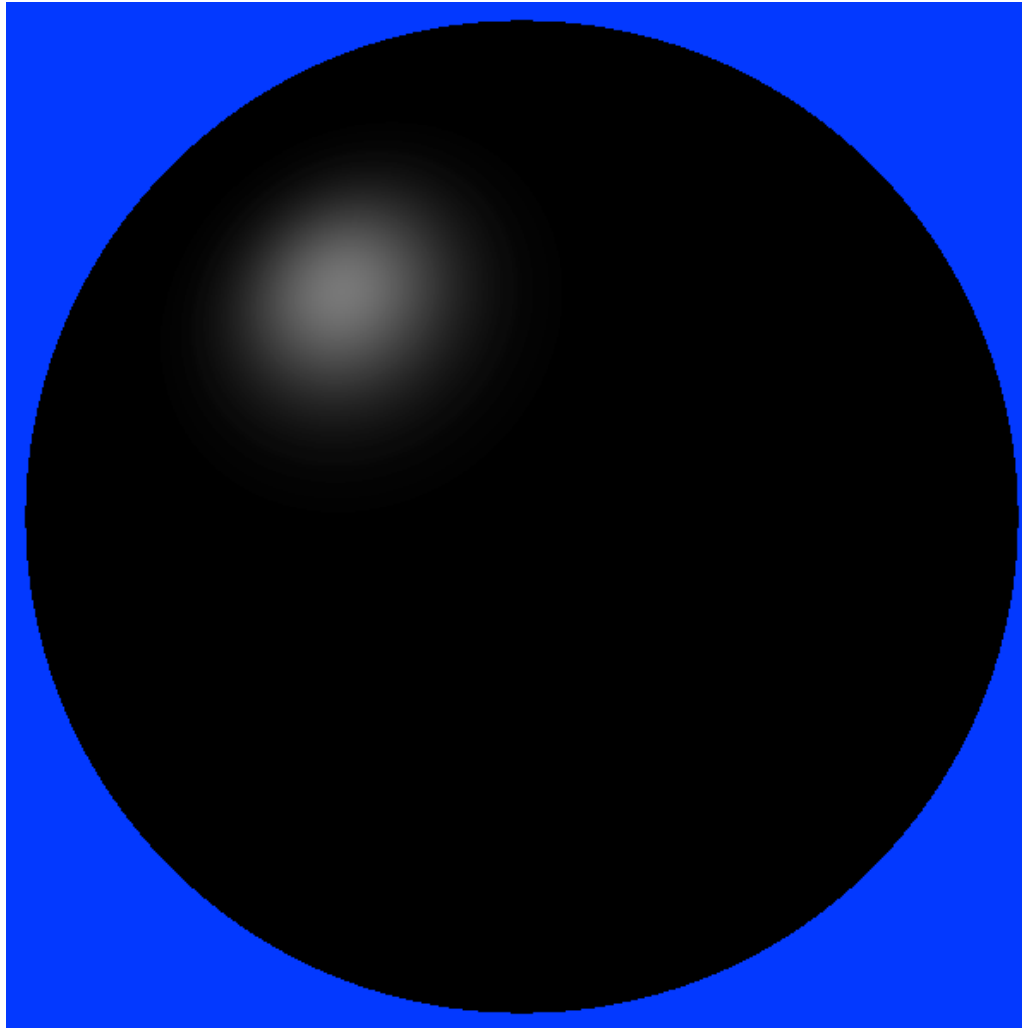
$$L_{spec}(\mathbf{V}) = \frac{m+8}{8\pi} \overline{\cos}^m \theta_h M_{spec}$$

$$\overline{\cos} \theta_h = \max(\mathbf{H} \cdot \mathbf{N}, 0)$$

$m$ : 輝き係数  
(shininess)

$$= \frac{m+8}{8\pi} \overline{\cos}^m \theta_h c_{spec} \otimes E_L \overline{\cos} \theta_i$$

# 鏡面反射成分による陰影



# 放射輝度

- 拡散反射成分と鏡面反射成分の和

$$L_o(\mathbf{V}) = \left( \frac{c_{diff}}{\pi} + \frac{m+8}{8\pi} \overline{\cos}^m \theta_h c_{spec} \right) \otimes E_L \overline{\cos} \theta_i$$

- 一般に使われている Blinn-Phong モデル

$$L_o(\mathbf{V}) = (\overline{\cos} \theta_i c_{diff} + \overline{\cos}^m \theta_h c_{spec}) \otimes B_L$$

$B_L$  : “明るさ (brightness)”  
 ↑  
 ad hoc に決定

# 陰影付け方程式の実装

- $n$  個の光源

$$L_o(\mathbf{V}) = \sum_{k=1}^n \left\{ \left( \frac{c_{diff}}{\pi} + \frac{m+8}{8\pi} \cos^m \theta_{h_k} c_{spec} \right) \otimes E_{L_k} \cos \theta_{i_k} \right\}$$

$$K_{diff} = \frac{c_{diff}}{\pi}, \quad K_{spec} = \frac{m+8}{8\pi} c_{spec}, \quad K_{diff} + K_{spec} \leq 1$$

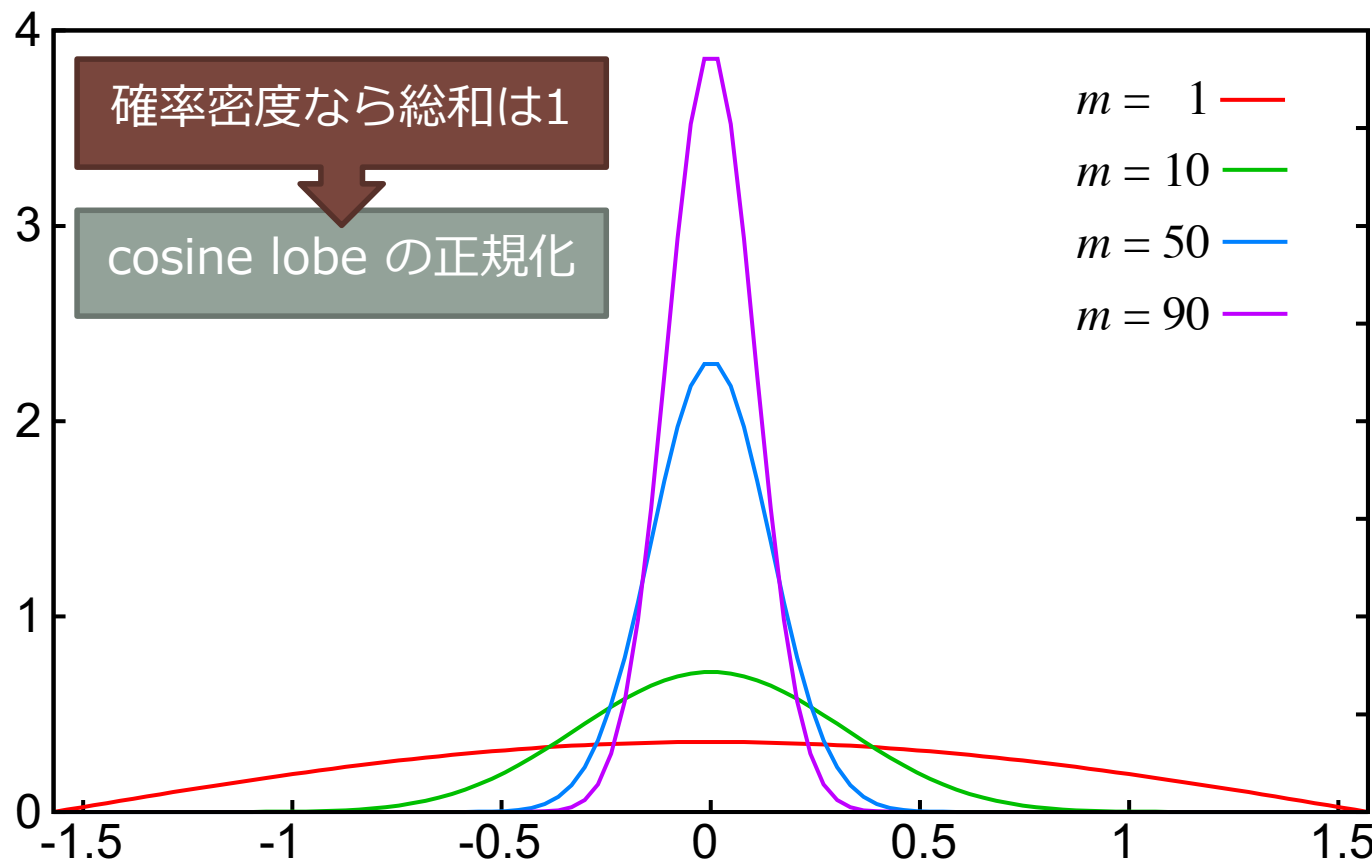


$$L_o(\mathbf{V}) = \sum_{k=1}^n \{ (K_{diff} + K_{spec} \cos^m \theta_{h_k}) \otimes E_{L_k} \cos \theta_{i_k} \}$$

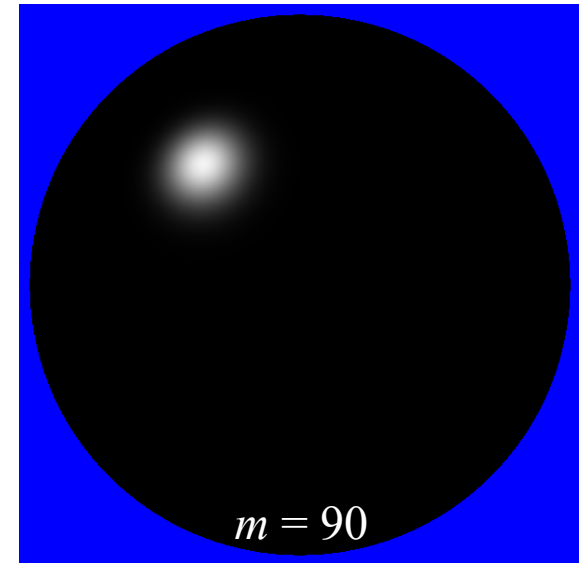
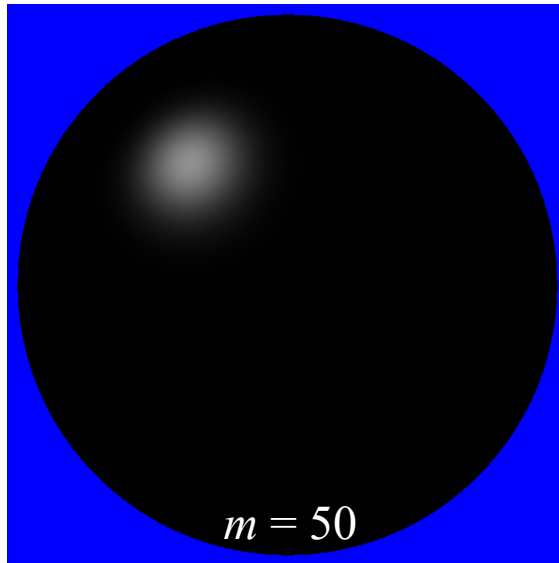
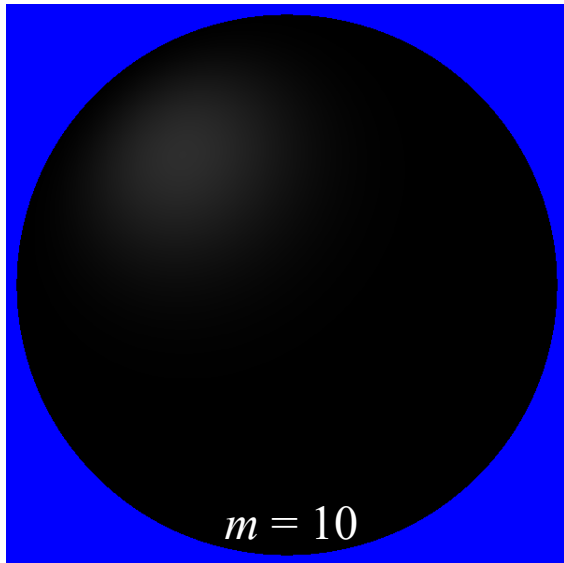
$K_{diff}$  :拡散反射係数  
 $K_{spec}$  :鏡面反射係数  
 $m = K_{shi}$  :輝き係数

互いに依存  
している

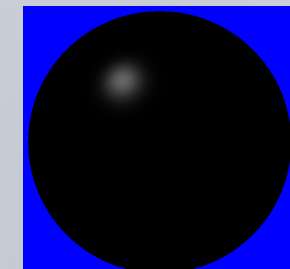
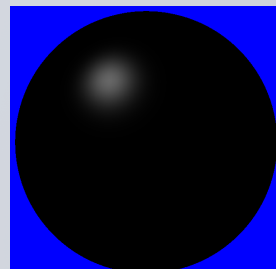
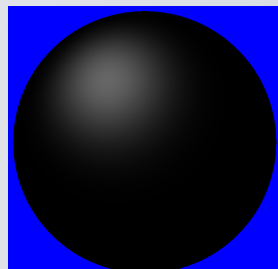
# 輝き係数



# 輝き係数によるハイライトの制御



小  $\longleftrightarrow m$  大



正規化しない場合

# BRDF

---

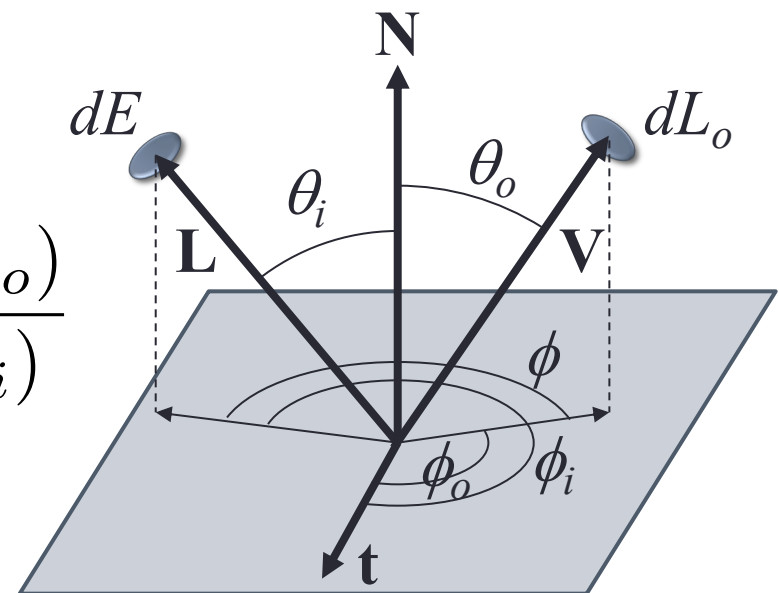
双方向反射率分布関数

# BRDF

- Bidirectional Reflectance Distribution Function
  - 双方向反射率分布関数
- $\mathbf{L}$  方向の微小立体角から入射する光の放射照度  $dE$  に対する  $\mathbf{V}$  方向の微小立体角への反射光の放射輝度が  $dL_o$  の割合

$$f(\mathbf{L}, \mathbf{V}) = \frac{dL_o(\mathbf{V})}{dE(\mathbf{L})}$$

$$f(\theta_i, \phi_i, \theta_o, \phi_o) = \frac{dL_o(\theta_o, \phi_o)}{dE(\theta_i, \phi_i)}$$



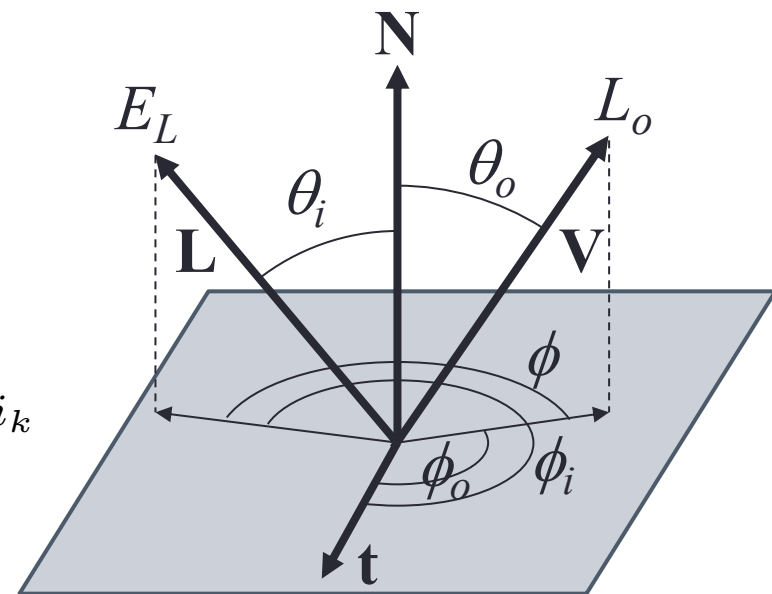
# 光源が点の場合の BRDF

- 光源が面積を持たない

$$f(\mathbf{L}, \mathbf{V}) = \frac{dL_o(\mathbf{V})}{E_L \cos \theta_i}$$

- 複数光源による放射輝度

$$L_o(\mathbf{V}) = \sum_{k=1}^n f(\mathbf{L}_k, \mathbf{V}) \otimes E_{L_k} \cos \theta_{i_k}$$



$E_L$  :  $\mathbf{L}$  方向にある光源の  $\mathbf{L}$  に直交する面に対する放射照度

$L_o(\mathbf{v})$  : 反射光の  $\mathbf{V}$  方向への放射輝度

# BRDF の性質

- 光の入射方向と放射方向は、それぞれ 2 つの自由度を持つ
  - 方位角  $\phi_i, \phi_o$ , 仰角  $\theta_i, \theta_o$
  - したがって、BRDF は 4 変数の関数
- 入射方向と反射方向を入れ替えても成立する
  - $f(\mathbf{L}, \mathbf{V}) = f(\mathbf{V}, \mathbf{L})$
  - ヘルムホルツの相反性 (Helmholtz reciprocity)
- 等方性 (Isotropic) BRDF
  - 個々の方位角に依存しない
  - 相対的な方位角  $\phi$  に依存する
  - 3 変数の関数 ( $\theta_i, \theta_o, \phi$ )
- エネルギー保存の法則
  - 放射されるエネルギーは入射エネルギーを超えない

# 指向性半球反射率

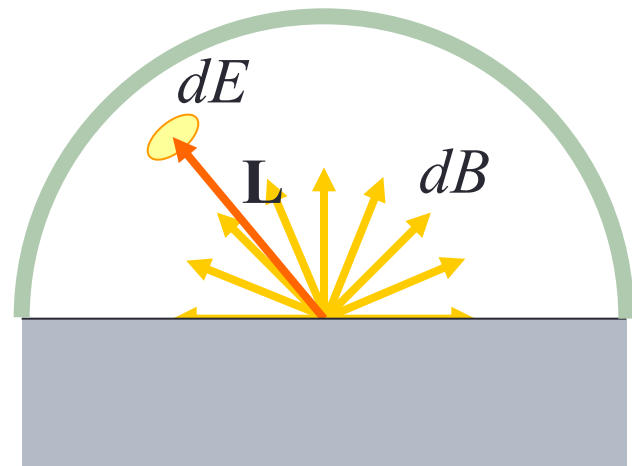
- Directional-Hemispherical Reflectance
  - $\mathbf{L}$  方向から入射した光の量に対する入射点を中心とする半球に放射される光の量の割合

$$R(\mathbf{L}) = \frac{dB}{dE(\mathbf{L})} \quad 0 \leq R(\mathbf{L}) \leq 1 \quad \rightarrow \text{色}$$

- 光源が面積を持たないとき

$$R(\mathbf{L}) = \frac{M}{E_L \cos \theta_i}$$

$M$  : 発散度



# 指向性半球反射率と BRDF の関係

- BRDF から指向性半球反射率を求める

$$R(\mathbf{L}) = \int_{\Omega} f(\mathbf{L}, \mathbf{V}) \cos \theta_o d\omega_o$$

- BRDF が完全拡散反射面 (Lambertian)

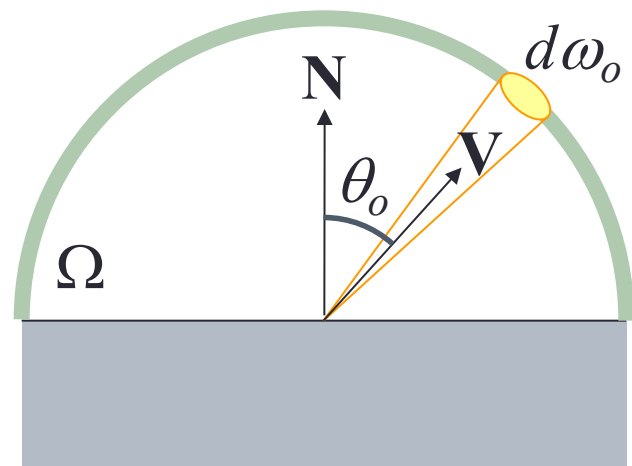
$$R(\mathbf{L}) = \pi f(\mathbf{L}, \mathbf{V})$$

- $R(\mathbf{L})$  は色  $\rightarrow c_{diff}$

$$f(\mathbf{L}, \mathbf{V}) = \frac{c_{diff}}{\pi}$$

- 放射輝度

$$L_o(\mathbf{V}) = \frac{c_{diff}}{\pi} \otimes \sum_{k=1}^n E_{L_k} \cos \theta_{i_k}$$



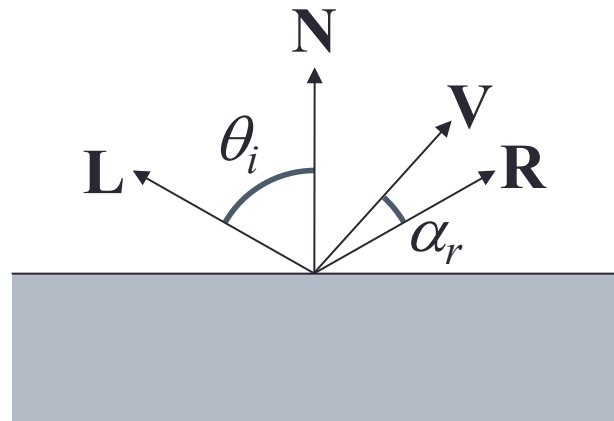
# Phong のモデルの BRDF

- Phong の陰影付けモデル

$$L_o(\mathbf{V}) = (\overline{\cos}\theta_i c_{diff} + \overline{\cos}^m \alpha_r c_{spec}) \otimes B_L$$

- $E_L = B_L/\pi$  とみなして上式から BRDF の項を取り出すと

$$f(\mathbf{L}, \mathbf{V}) = \frac{c_{diff}}{\pi} + \frac{c_{spec}\overline{\cos}^m \alpha_r}{\pi \overline{\cos}\theta_i}$$



# Phong のモデルの BRDF の特性

- $c_{diff}$ 
  - 指向性半球反射率により求まる
  - 0~1 の値を持つ
- $c_{spec}$ 
  - 0~1 の値を持つ
  - 指向性半球反射率  $R_{diff}$  の値に上限はない

$$f(\mathbf{L}, \mathbf{V}) = \frac{c_{diff}}{\pi} + \frac{c_{spec} \overline{\cos}^m \alpha_r}{\pi \overline{\cos} \theta_i}$$

- 上式で入射角  $\theta_i \rightarrow 90^\circ$  とすると鏡面反射率が大きくなりすぎる

# 鏡面反射項の指向性半球反射率

- 入射角  $\theta_i \rightarrow 0^\circ$  のとき最大値  $2c_{spec}/(m + 2)$ 
  - $2/(m + 2)$  で割る  $\rightarrow c_{spec}$  が指向性半球反射率の最大値に等しくなる

$$f(\mathbf{L}, \mathbf{V}) = \frac{c_{diff}}{\pi} + \frac{m + 2}{2\pi} c_{spec} \overline{\cos}^m \underline{\alpha_r}$$

- エネルギー保存の法則
  - $c_{spec} + c_{spec} \leq 1$

# 中間ベクトルを用いた場合

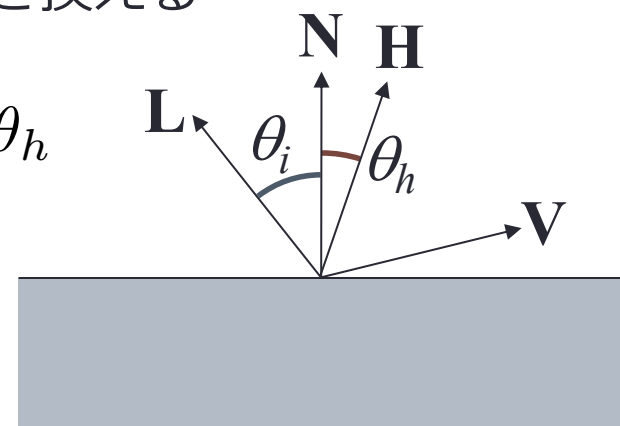
- Sloan と Hoffman
  - Blinn-Phong BRDF (1977) を正規化 (2008)

$$f(\mathbf{L}, \mathbf{V}) = \frac{c_{diff}}{\pi} + \frac{m+8}{8\pi} c_{spec} \overline{\cos}^m \theta_h$$

- これは微小面 BRDF (後述) に似ている
  - $c_{spec}$  はフレネル反射率 (後述)  $R_F(\theta_i)$  に置き換える

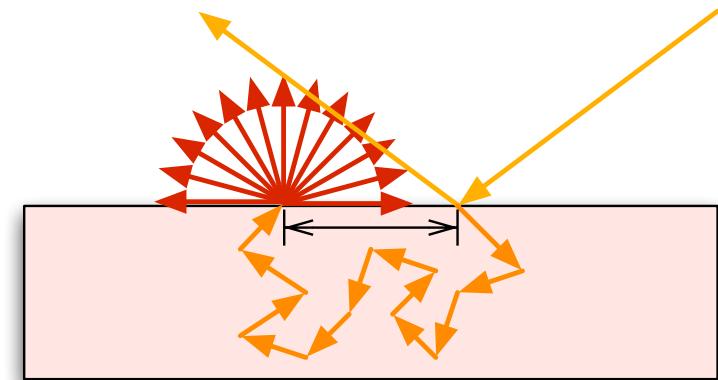
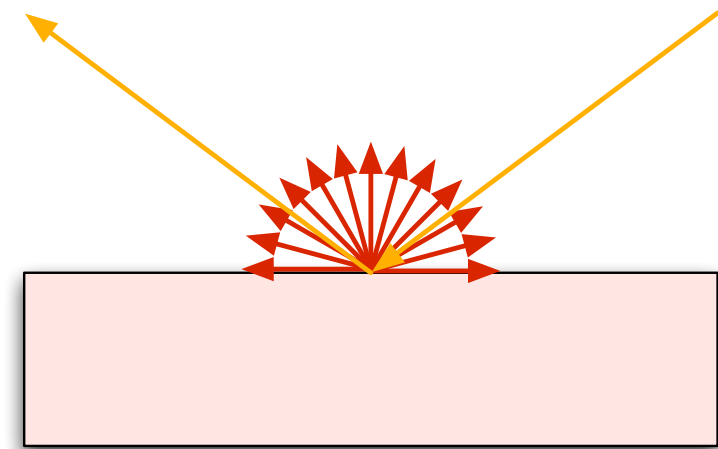
$$f(\mathbf{L}, \mathbf{V}) = \frac{c_{diff}}{\pi} + \frac{m+8}{8\pi} R_F(\theta_i) \overline{\cos}^m \theta_h$$

- この  $\overline{\cos}^m \theta_h$  の項は正規分布関数に相当する

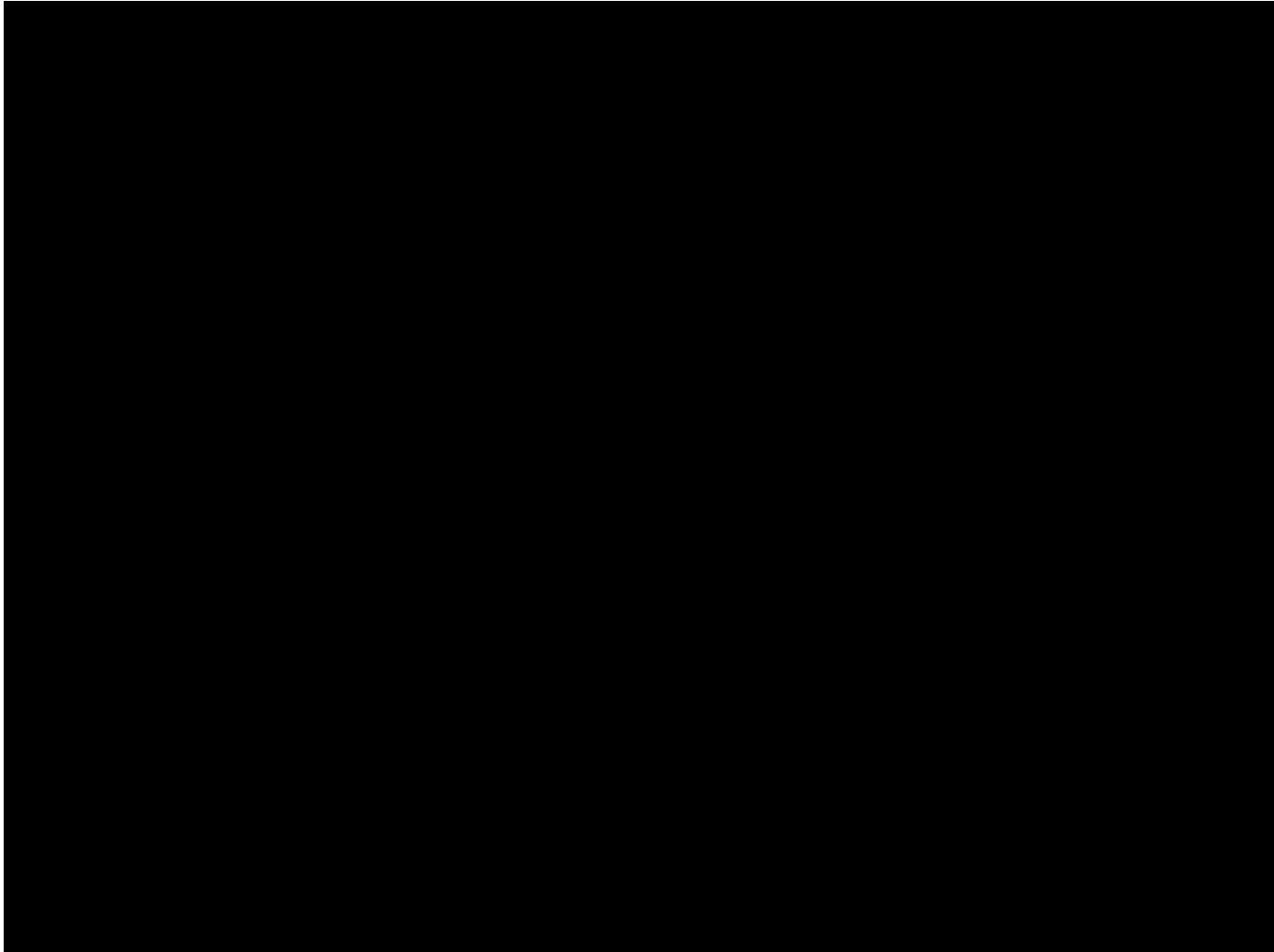


# 表面下散乱を考慮する場合

- BRDF は表面下散乱を考慮していない
  - 鏡面反射光も拡散反射光も入射点から放射されると考える (局所表面下散乱)
- 表面下散乱がある場合
  - 鏡面反射光は入射点で反射するが拡散反射光の放射位置は入射点と異なる
  - 入射位置から放射位置に輸送される光が存在する



# 表面下散乱がある場合の反射光



# Screen Space Sub-Surface Scattering



<https://github.com/tokoik/imsss>

# BSSRDF

- Bidirectional Surface Scattering Distribution Function
  - 双方向表面散乱分布関数
- BRDF を一般化したもの
  - 関数の入力として入射位置  $\mathbf{x}_i$  と放射位置  $\mathbf{x}_o$  を加える
    - $f(\mathbf{L}, \mathbf{V}) \rightarrow f(\mathbf{x}_i, \mathbf{x}_o, \mathbf{V}, \mathbf{L})$
  - 表面下散乱を含むために下記の光を考慮する
    - 入射方向に沿った光の割合
    - 表面上のある点から別の点へ移動する光の割合
    - 放射方向に沿った光の割合
- カメラが十分に遠い場合
  - 入射位置と放射位置が一致すると近似できる

# さらに一般化

- 材質は物体表面全体で均一ではない
  - 単一の物質でも粗さや汚れなどで変化する
  - SVBRDF (Spatially Varying BRDF) または SBRDF (Spatial BRDF)
    - Goldman, Dan B., et al. "Shape and spatially-varying brdfs from photometric stereo." *IEEE Transactions on Pattern Analysis and Machine Intelligence* 32.6 (2010): 1060-1071.
- 光の偏光
  - 偏光面によって反射率や透過率が異なる
- 光の輸送
  - two BRDF
  - two BTDF (Bidirectional Transmission Distribution Function)

# 課題

- 表面下散乱を再現する場合について、スケールが大きくなる、あるいはカメラが遠くなるに従って、表面下散乱の影響が小さくなる理由を考えなさい。

# フレネル反射

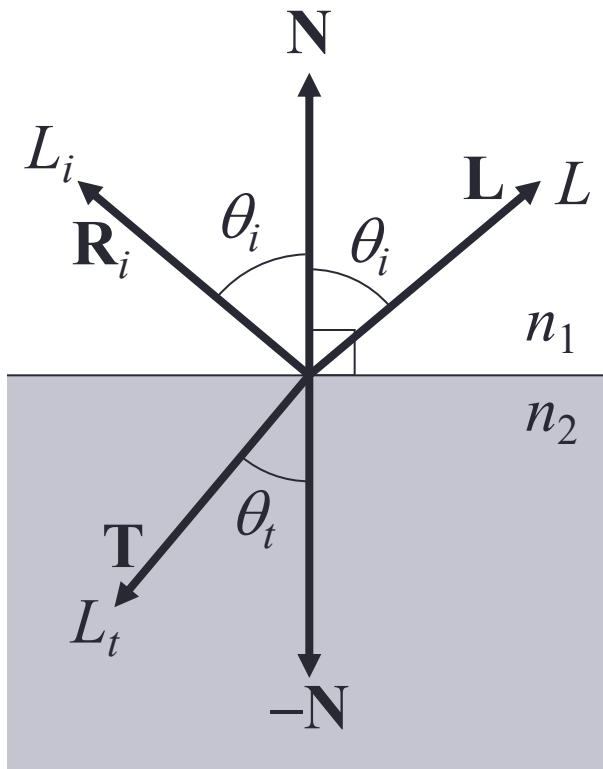
---

表面反射と本体反射の配分

# 表面反射と本体反射

- ・表面反射 (Surface reflection)
  - ・物体の内部に進入せずに表面で発生する反射
  - ・鏡面反射
- ・本体反射 (Body reflection)
  - ・物体内部に進入した光が散乱して外部に再放出されることによって発生する反射
  - ・拡散反射
- ・反射の仕方による分類 → 反射する場所による分類

# フレネル反射 (Fresnel Reflectance)



$$L_i = R_F(\theta_i) L$$

フレネル反射率

$$L_t = (1 - R_F(\theta_i)) \frac{\sin^2 \theta_i}{\sin^2 \theta_t} L$$

屈折に回る割合

スネルの法則  $n_1 \sin \theta_i = n_2 \sin \theta_t$

$$L_t = (1 - R_F(\theta_i)) \frac{n_2^2}{n_1^2} L$$

正反射方向  $\mathbf{R}_i = 2(\mathbf{N} \cdot \mathbf{L})\mathbf{N} - \mathbf{L}$

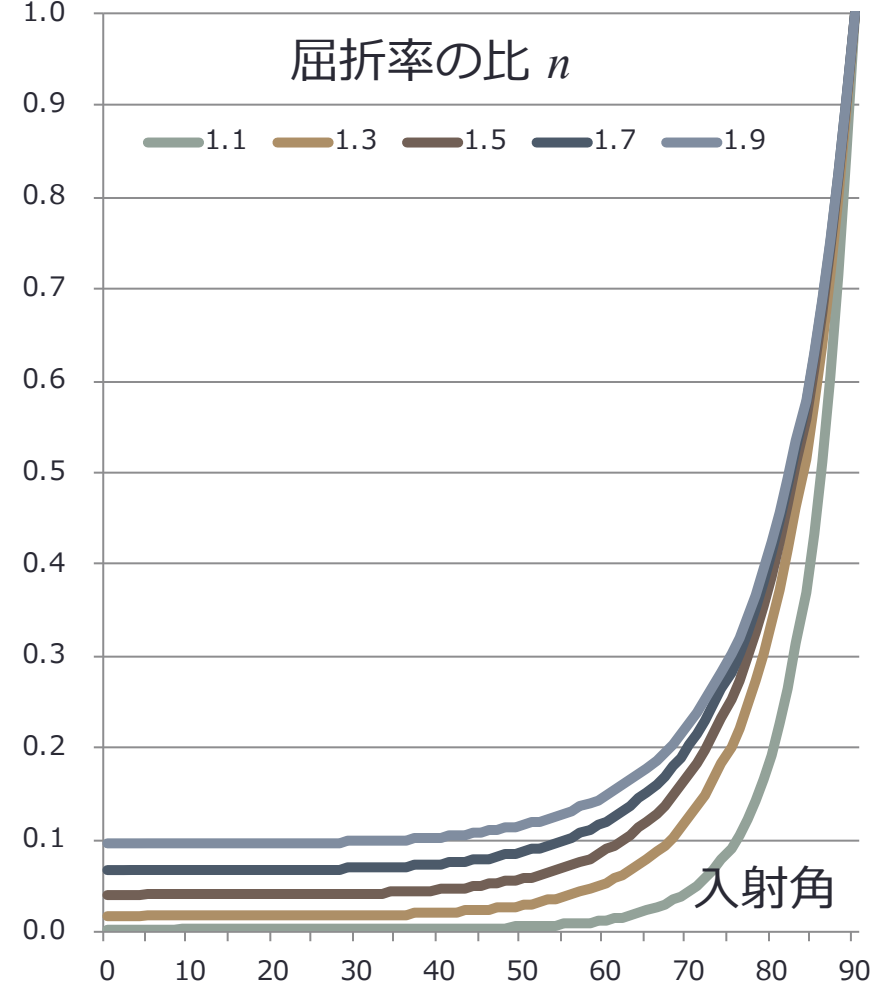
# フレネルの式

反射率  $R_F(\theta_i)$

$$c = \cos \theta_i$$

$$g = \sqrt{n^2 + c^2 + 1} \quad n: \text{屈折率の比}$$

$$R_F(\theta_i) = \frac{1}{2} \frac{(g - c)^2}{(g + c)^2} \left( 1 + \frac{(c(g + c) - 1)^2}{(c(g - c) - 1)^2} \right)$$

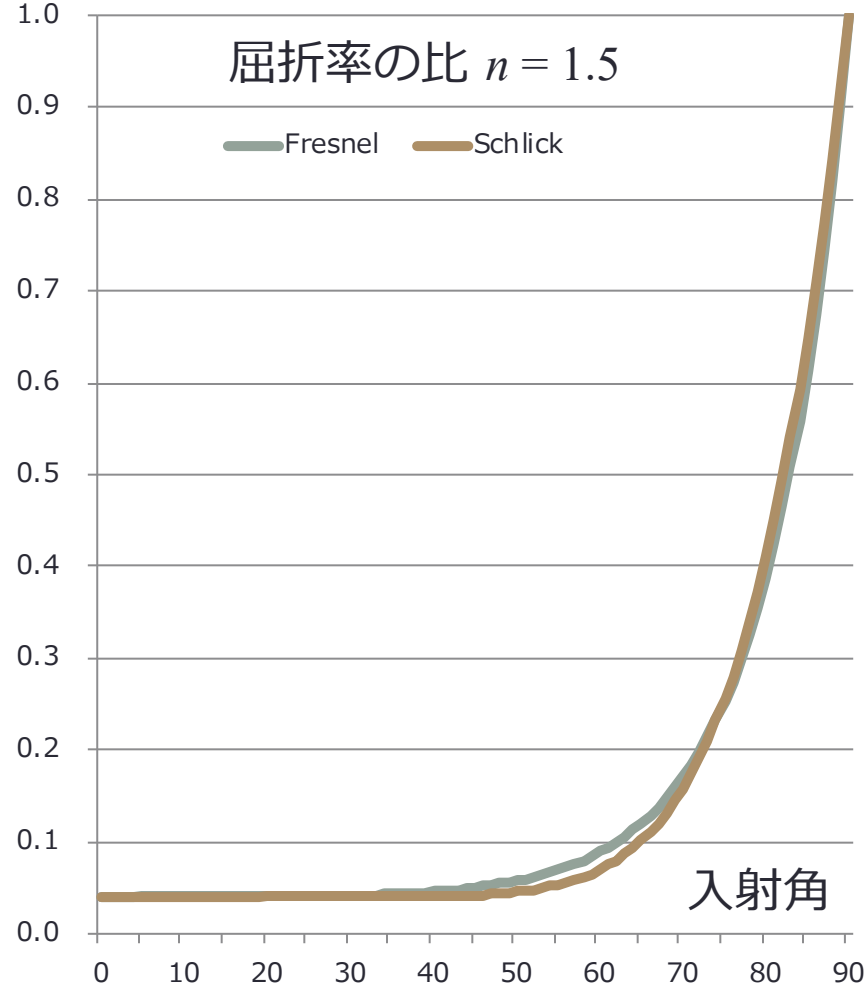


# Schlick の近似

反射率  $R_F(\theta_i)$

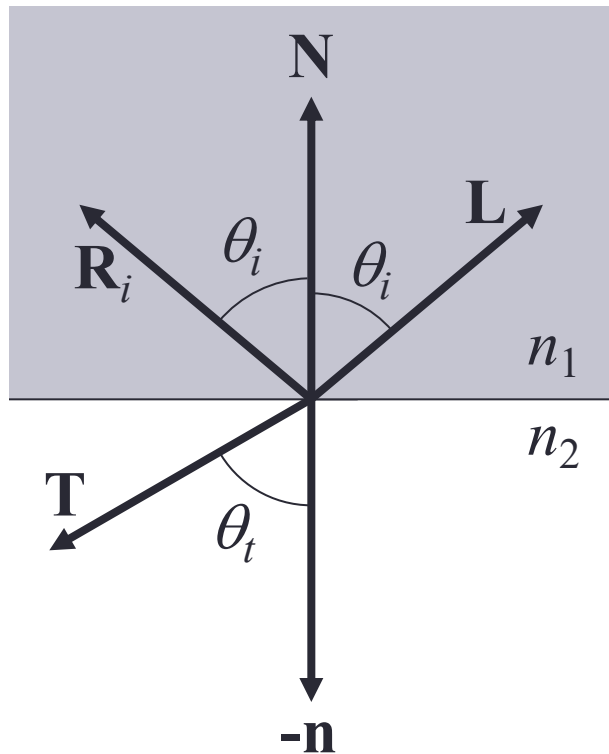
$$R_F(\theta_i) \approx R_F(0^\circ) + (1 - R_F(0^\circ))(1 - \cos\theta_i)^5$$

$$n_1 \rightarrow 1, n_2 \rightarrow n \Rightarrow R_F(0^\circ) = \left( \frac{n-1}{n+1} \right)^2$$



# 内部反射 (Internal Reflection)

- 光が透明な物体の内部から外部に出る時



$$n_1 > n_2$$

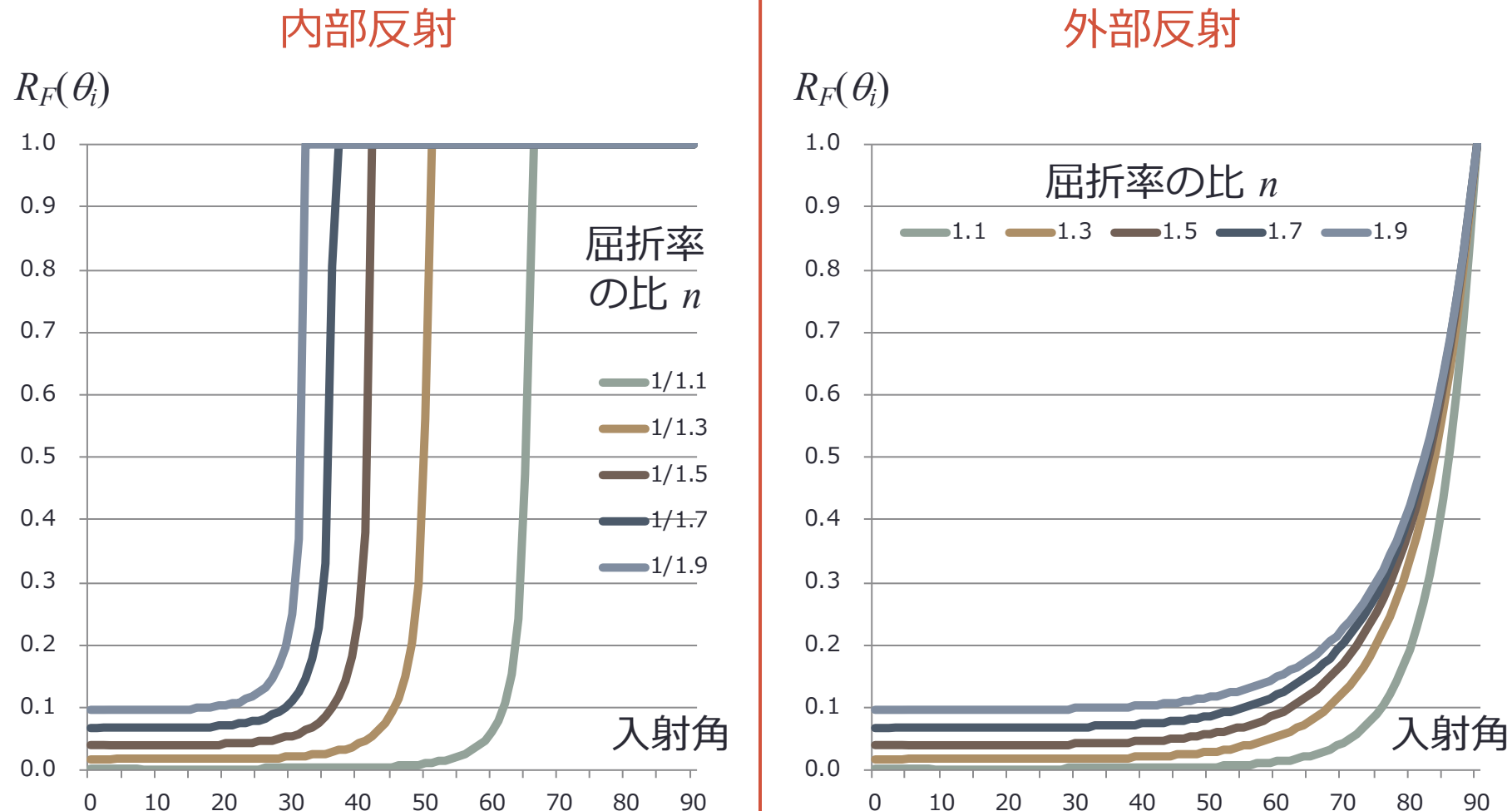
$$\sin \theta_t > \sin \theta_i$$

光ファイバが  
光を漏らさない  
理由

入射角  $\theta_i$  が臨界角  $\theta_c$  を超えると  
反射率  $R_F(\theta_i) = 1$  となる

$$\sin \theta_c = \frac{n_2}{n_1} = \frac{1 - \sqrt{R_F(0^\circ)}}{1 + \sqrt{R_F(0^\circ)}}$$

# 内部反射と外部反射の反射率



# 拡散 BRDF 項

$$f_{diff}(\mathbf{L}, \mathbf{V}) = \frac{c_{diff}}{\pi}$$

$$c_{diff} = (1 - c_{spec})\rho$$

$\rho$ : 散乱アルベド (albedo, **反射能**), 本当の入射光強度に対する反射光強度の比

拡散反射色は入射光から鏡面反射色を引いたものに散乱アルベドをかけたもの

$$f_{diff}(\mathbf{L}, \mathbf{V}) = (1 - R_F(\theta_i)) \frac{\rho}{\pi}$$

拡散反射色はフレネルの法則と散乱アルベドで決まる

## Shirley の式

$$f_{diff}(\mathbf{L}, \mathbf{V}) = \frac{21}{20\pi(1 - R_F(0^\circ))} (1 - (1 - \cos\theta_i)^5)(1 - (1 - \cos\theta_o)^5)\rho$$

## Ashikhmin と Shirley の式

$$f_{diff}(\mathbf{L}, \mathbf{V}) = \kappa_{norm}(1 - R_{spec}(\mathbf{L}))(1 - R_{spec}(\mathbf{V}))\rho$$

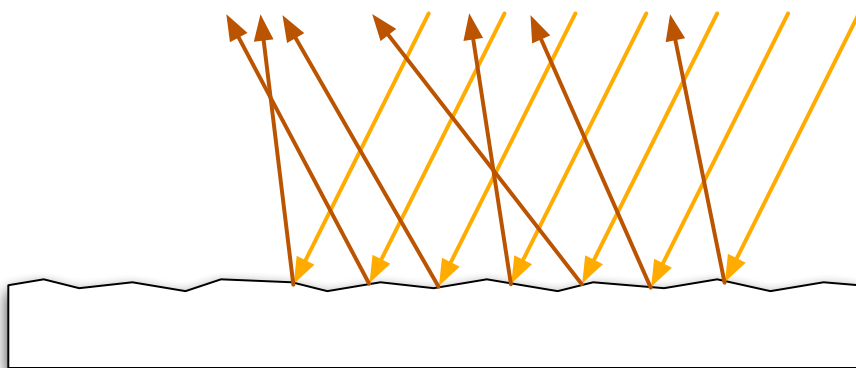
$\kappa_{norm}$  はエネルギー保存を保証することにより決まる定数

# 微小面モデル

---

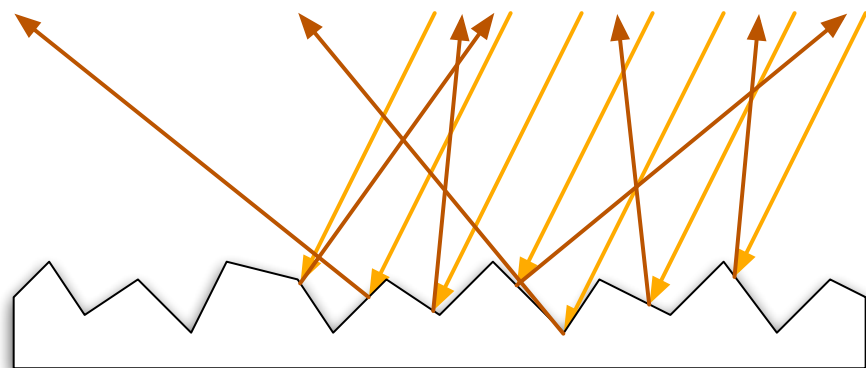
表面の粗さの影響

# 微小形状 (Micro geometry)



面の粗さが小さいとき

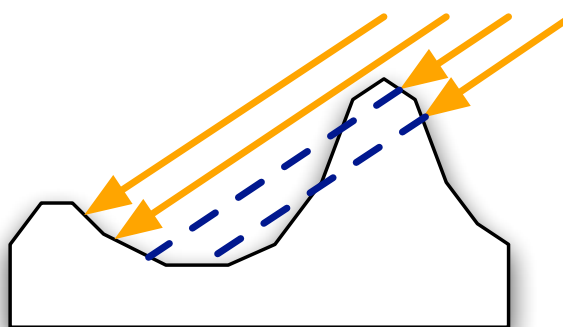
反射光の散らばりが少ない



面の粗さが大きいとき

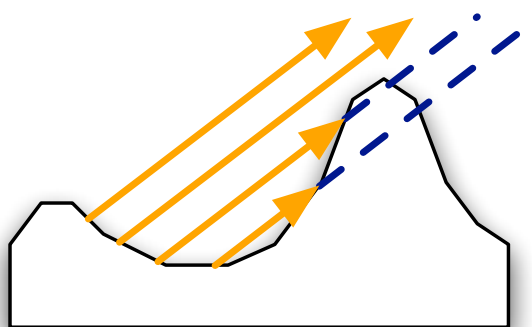
反射光の散らばりが大きい

# 微小形状による効果



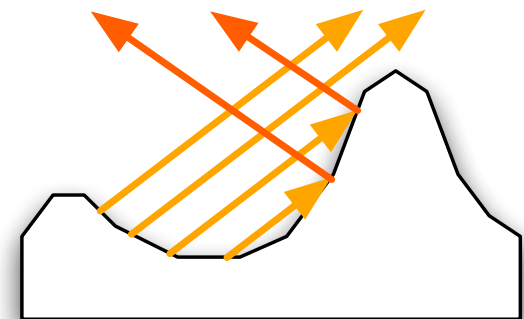
シャドウイング

微小形状によって  
入射光の影が発  
生する



マスキング

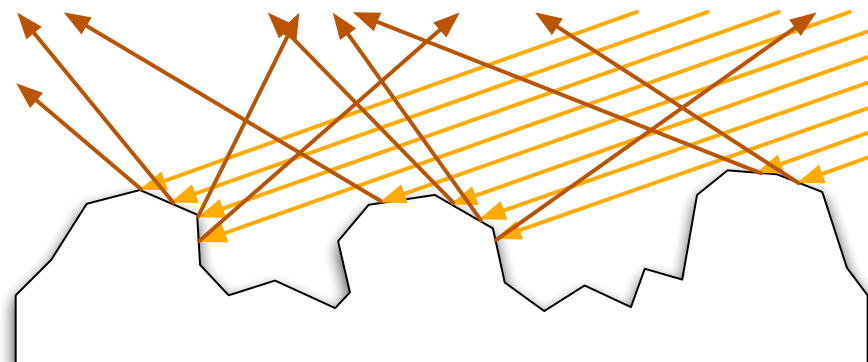
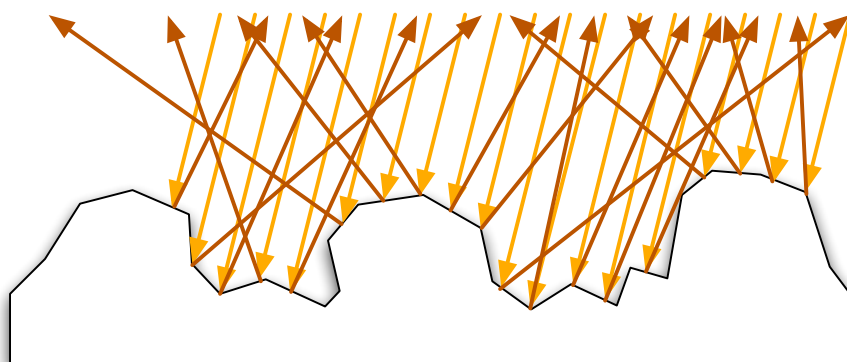
微小形状によって  
反射光がさえぎら  
れる



相互反射

微小形状の内部  
で相互反射が発  
生する

# 微小形状の高さと法線ベクトル



光の入射角が深いとき

粗い深い部分まで  
光が届く

反射光の散らばりが大きい  
(鏡面反射が弱い)

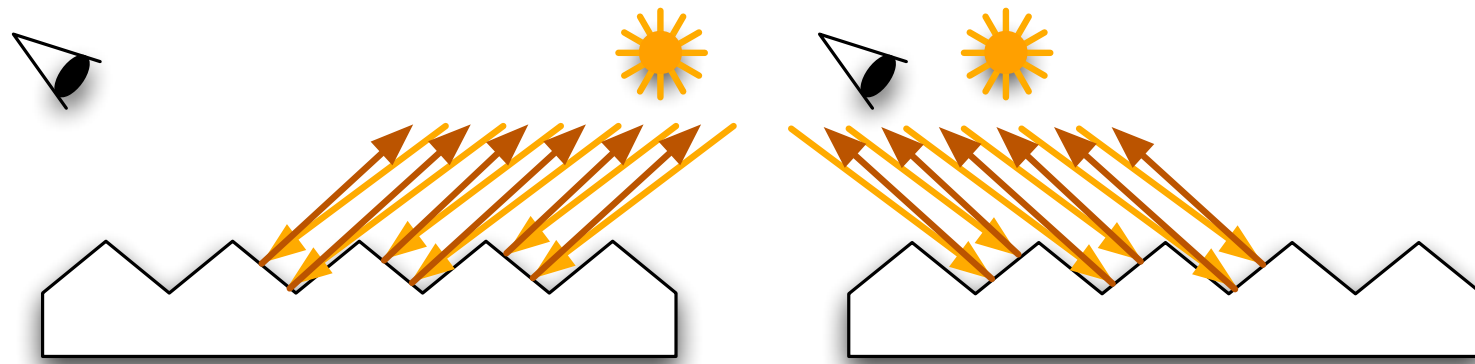
光の入射角が浅いとき

滑らかな浅い部分にしか  
光が届かない

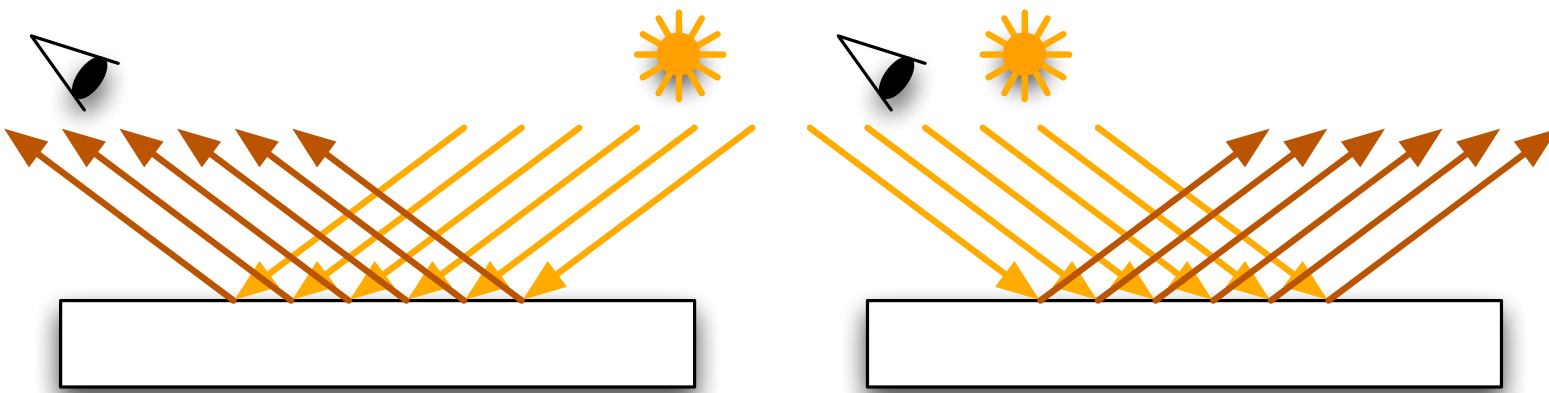
反射光の散らばりは小さい  
(鏡面反射が強い)

# 再帰性反射 (Retro-reflection)

- 光の入射方向が視線と一致するときに最も明るくなる現象



- 滑らかな表面では入射光の正反射方向が最も明るくなる

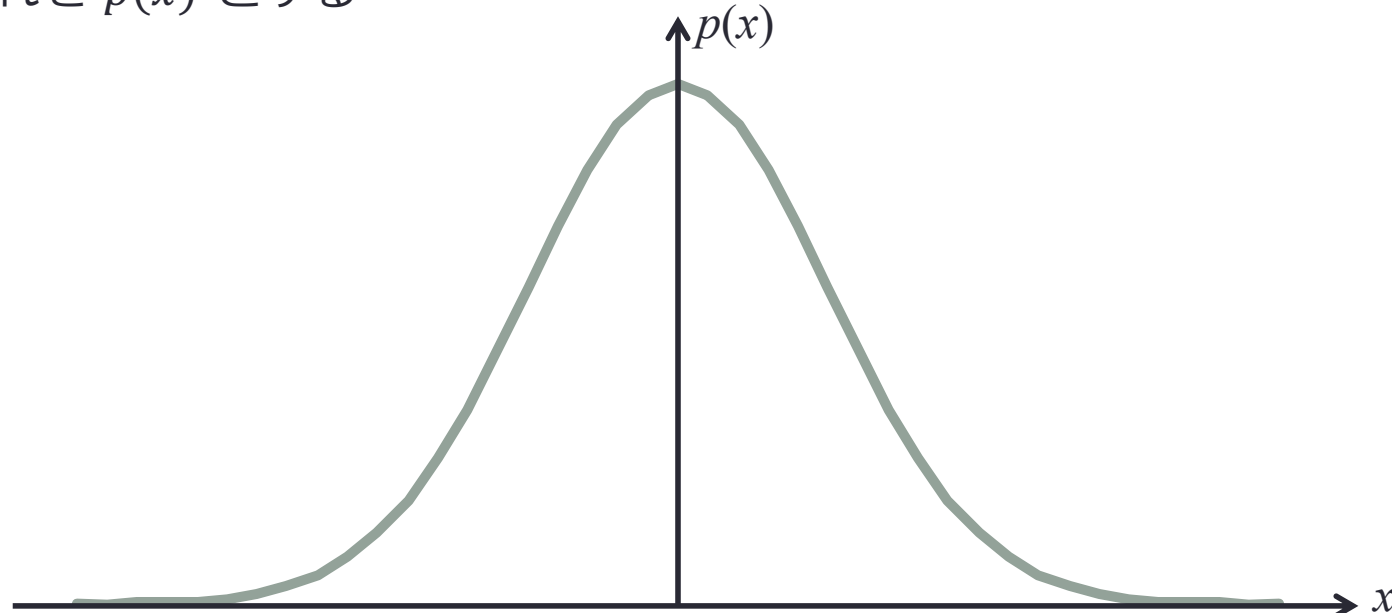


# 微小面理論 (Microfacet Theory)

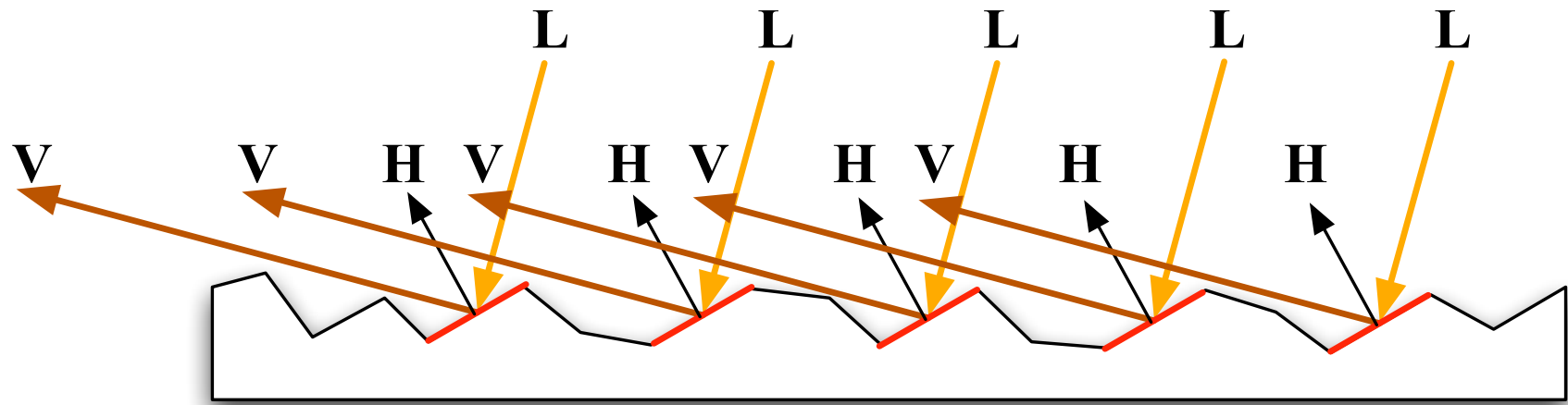
- Torrance and Sparrow [1967]
  - Torrance, Kenneth E., and Ephraim M. Sparrow. "Theory for off-specular reflection from roughened surfaces." *JOSA* 57.9 (1967): 1105-1114.
- Blinn [1977]
  - Blinn, James F. "Models of light reflection for computer synthesized pictures." *ACM SIGGRAPH Computer Graphics*. Vol. 11. No. 2. ACM, 1977.
- Cook and Torrance [1981]
  - Cook, Robert L., and Kenneth E. Torrance. "A reflectance model for computer graphics." *ACM Siggraph Computer Graphics*. Vol. 15. No. 3. ACM, 1981.

# 表面の粗さの微小面によるモデル化

- 表面の微小形状を微小面の集合として扱う
  - 微小面は平坦なフレネル反射する鏡であるとする
  - 表面特性は微小面の法線の分布で決まる
  - 分布に正規分布関数 (normal distribution function, NDF) を用いる
    - これを  $p(x)$  とする



# 微小面の法線ベクトル

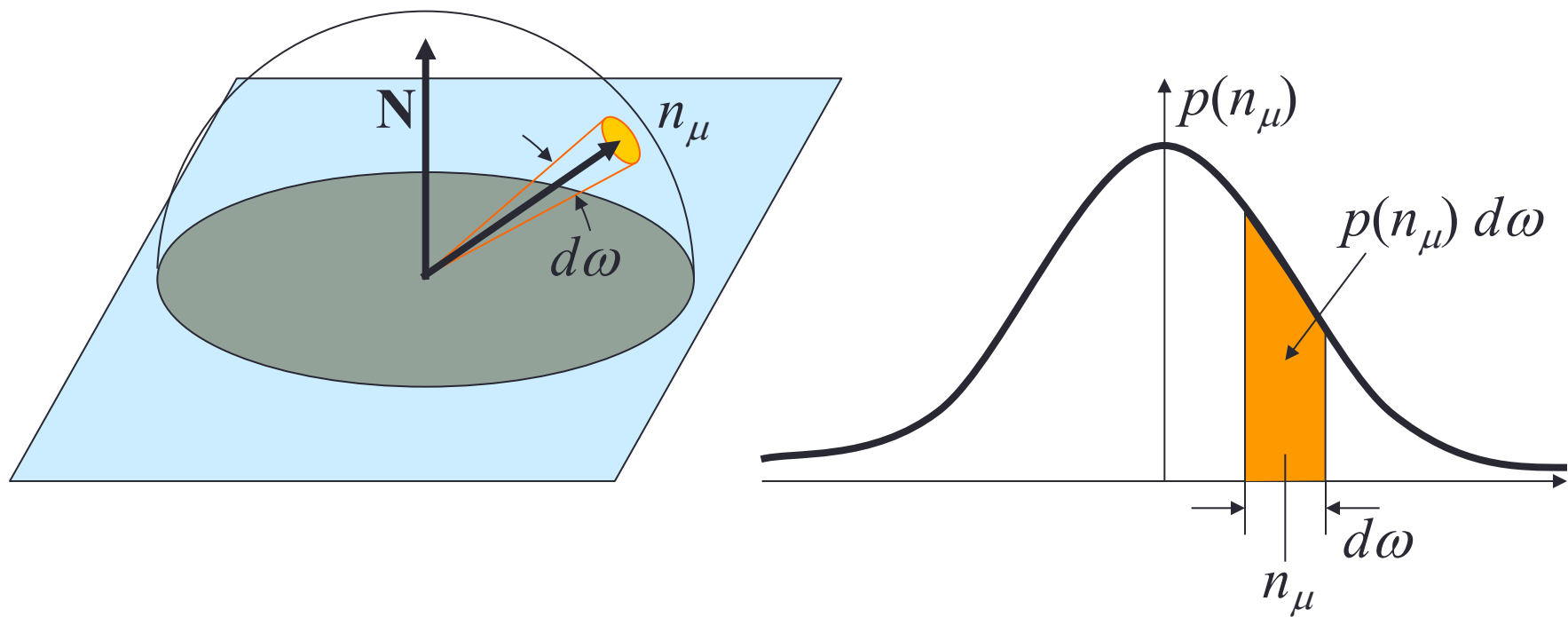


法線ベクトルが光線ベクトル  $L$  と視線ベクトル  $V$  の中間ベクトル  $H$  と一致する微小面の反射光が視点に届く

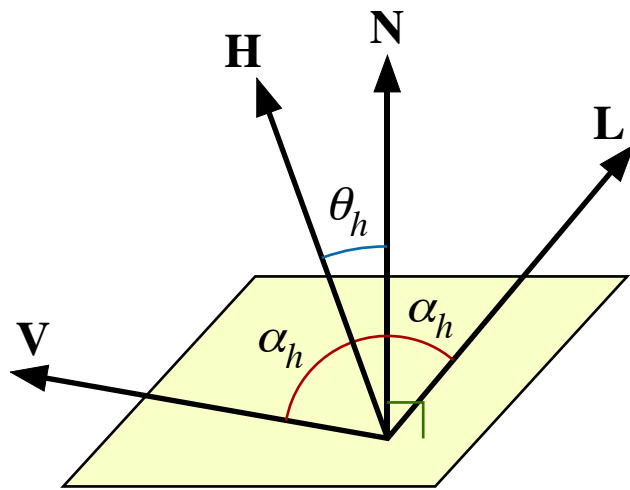
反射率は法線ベクトルが  $H$  と一致する微小面の割合  $p(H)$  に依存する

# 微小面の法線が特定方向に向く確率

- 法線ベクトルが  $n_\mu$  方向の立体角  $d\omega$  の範囲を向いている確率 -  $p(n_\mu)d\omega$
- $\mathbf{N}$  はこの微小面が乗っている土台の面の法線ベクトル



# 中間ベクトルにもとづくフレネル反射率



- $\alpha_h$ 
  - $L$  (または  $V$ ) と  $H$  のなす角
- $\theta_h$ 
  - $N$  と  $H$  のなす角
- フレネル反射率
  - Schlick の近似

$$R_F(\alpha_h) \approx R_F(0^\circ) + (1 - R_F(0^\circ))(1 - \cos \alpha_h)^5$$

# 微小面理論にもとづく BRDF

$$f(\mathbf{L}, \mathbf{V}) = \frac{p(\mathbf{H})G(\mathbf{L}, \mathbf{V})R_F(\alpha_h)}{4k_p \cos\theta_i \cos\theta_o}$$

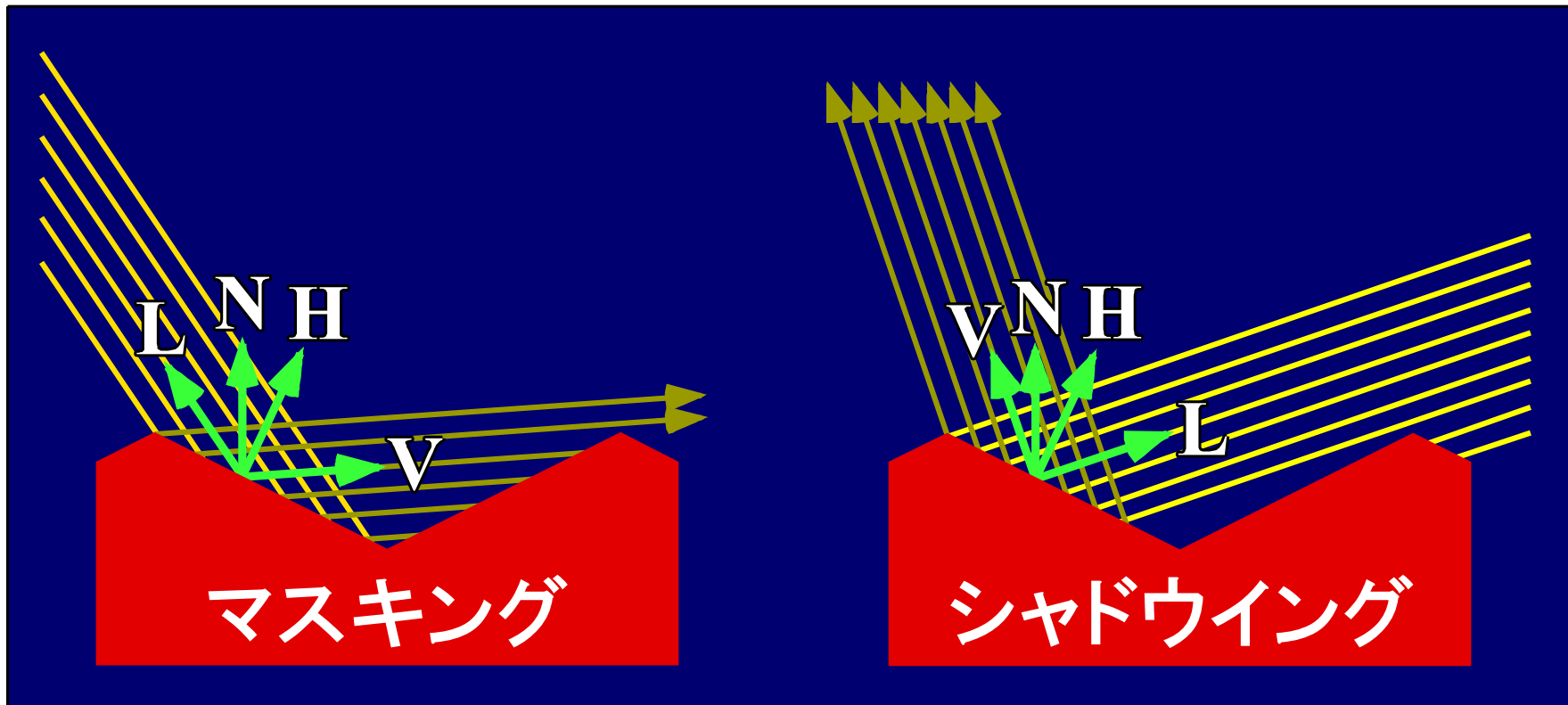
$G(\mathbf{L}, \mathbf{V})$  : 幾何減衰係数 (Geometrical Attenuation Factor) マスキング／シャドウリングの影響を表す関数

$$k_p = \int_{\Omega} p(\mathbf{H}) \cos\theta_h d\omega_h$$

$p(\theta_h)$  は通常対称 (等方性をもつ)

$$f(\mathbf{L}, \mathbf{V}) = \frac{p(\theta_h)G(\mathbf{L}, \mathbf{V})R_F(\alpha_h)}{4k_p \cos\theta_i \cos\theta_o}$$

# 幾何減衰係数 $G(\mathbf{L}, \mathbf{V})$



$$G(\mathbf{L}, \mathbf{V}) = \min \left( 1, \frac{2(\mathbf{N} \cdot \mathbf{H})(\mathbf{N} \cdot \mathbf{L})}{\mathbf{H} \cdot \mathbf{L}}, \frac{2(\mathbf{N} \cdot \mathbf{H})(\mathbf{N} \cdot \mathbf{V})}{\mathbf{H} \cdot \mathbf{L}} \right)$$

# Torrance and Sparrow の BRDF

- 幾何減衰係数

$$G_{TS}(\mathbf{L}, \mathbf{V}) = \min \left( 1, \frac{\overline{\cos} \theta_h \overline{\cos} \theta_o}{\overline{\cos} \alpha_h}, \frac{\overline{\cos} \theta_h \overline{\cos} \theta_i}{\overline{\cos} \alpha_h} \right)$$

- 可視度項 (Visibility Term, 後述)

$$\frac{G_{TS}(\mathbf{L}, \mathbf{V})}{\overline{\cos} \theta_i \overline{\cos} \theta_o} \approx \frac{2}{1 + \mathbf{L} \cdot \mathbf{V}} = \frac{4}{\mathbf{H}' \cdot \mathbf{H}'} = \frac{1}{\cos^2 \alpha_h}$$



$\mathbf{H}'$  は正規化しない中間ベクトル ( $\mathbf{L} + \mathbf{V}$ )

# Smith の幾何減衰係数

- 表面の粗さに依存した 2 つの幾何減衰係数
  - Sancer よって導かれ Stam が diffraction BRDF で用いたもの
  - Smith によって導かれ HTSG BRDF モデルで用いられたもの
- 両方ともとても複雑で計算コストが高い
  - Schlick によって導かれた Smith のシャドウイング関数

$$G_{Smith}(\mathbf{L}, \mathbf{V}) \approx \left( \frac{\overline{\cos}\theta_i}{\overline{\cos}\theta_i(1 - k) + k} \right) \left( \frac{\overline{\cos}\theta_o}{\overline{\cos}\theta_o(1 - k) + k} \right)$$

$$k = \sqrt{\frac{2m^2}{\pi}}$$

# Phong BRDF の微小面 BRDF

- 微小面理論にもとづく BRDF

$$f(\mathbf{L}, \mathbf{V}) = \frac{p(\theta_h)G(\mathbf{L}, \mathbf{V})R_F(\alpha_h)}{4k_p \cos\theta_i \cos\theta_o}$$

正規分布関数  $\frac{p(\theta_h)}{4k_p}$    $\cos$  のべき乗関数  $\frac{m+8}{8\pi} \cos^m \theta_h$

- 正規分布関数の代わりに  $\cos$  の指数関数を用いた BRDF

$$f(\mathbf{L}, \mathbf{V}) = \left( \frac{G(\mathbf{L}, \mathbf{V})}{\cos\theta_i \cos\theta_o} \right) \left( \frac{m+8}{8\pi} \cos^m \theta_h \right) R_F(\alpha_h)$$

# 微小面 BRDF における幾何減衰係数

- 正規分布関数の代わりに  $\cos$  のべき乗関数を用いた BRDF

$$f(\mathbf{L}, \mathbf{V}) = \left( \frac{G(\mathbf{L}, \mathbf{V})}{\cos\theta_i \cos\theta_o} \right) \left( \frac{m+8}{8\pi} \cos^m \theta_h \right) R_F(\alpha_h)$$

- Blinn-Phong BRDF の鏡面反射項

$$f_{spec}(\mathbf{L}, \mathbf{V}) = \left( \frac{m+8}{8\pi} \cos^m \theta_h \right) R_F(\alpha_h)$$

- この比較から Blinn-Phong BRDF の（隠れた）幾何減衰係数  $G_{BF}$  は

$$G_{BF}(\mathbf{L}, \mathbf{V}) = \cos\theta_i \cos\theta_o$$

# 可視度項 (visibility term)

- 正規分布関数の代わりに  $\cos$  の指数関数を用いた BRDF において

$$f(\mathbf{L}, \mathbf{V}) = \left( \frac{G(\mathbf{L}, \mathbf{V})}{\cos\theta_i \cos\theta_o} \right) \left( \frac{m+8}{8\pi} \cos^m \theta_h \right) R_F(\alpha_h)$$

可視度項

# 可視度項 (visibility term) のモデル化

Blinn-Phong BRDF の可視度項

これは  $G(\mathbf{L}, \mathbf{V}) = \overline{\cos} \theta_i \overline{\cos} \theta_o$  とみなせる  
 → 浅い角度から見たときに暗すぎる

1

Ward BRDF の可視度項

これは  $G(\mathbf{L}, \mathbf{V}) = 1$  とみなせる  
 → 浅い角度から見たときに明るすぎる

$$\frac{1}{\overline{\cos} \theta_i \overline{\cos} \theta_o}$$

Neumann et al.

$$\frac{1}{\max(\overline{\cos} \theta_i, \overline{\cos} \theta_o)}$$

Ashikhmin and Premož

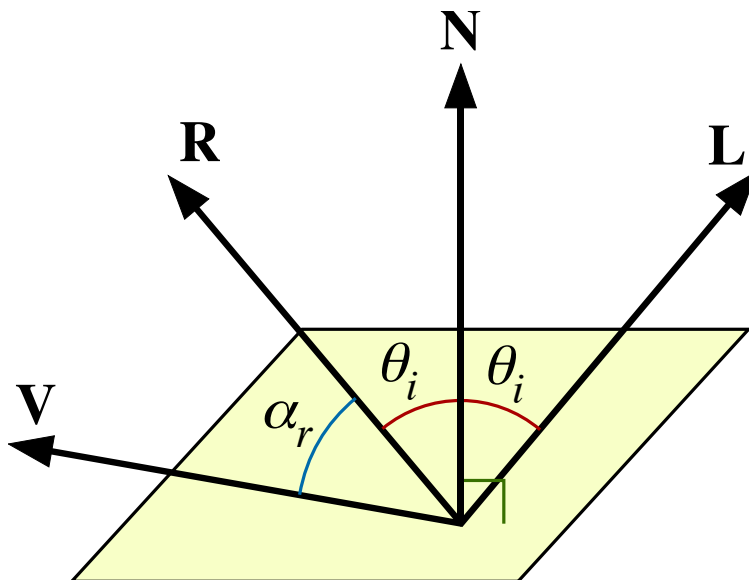
$$\frac{1}{\cos \alpha_h \max(\overline{\cos} \theta_i, \overline{\cos} \theta_o)}$$

↓

$$\frac{1}{\overline{\cos} \theta_i + \overline{\cos} \theta_o - \overline{\cos} \theta_i \overline{\cos} \theta_o}$$

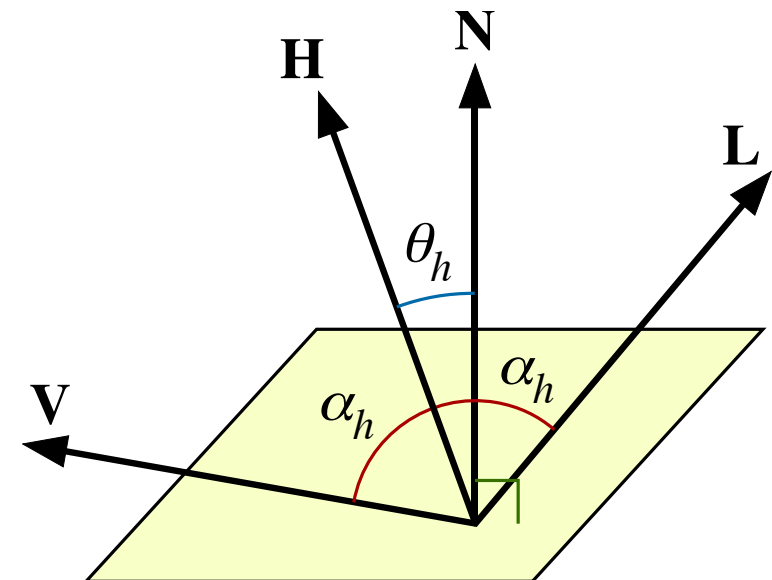
# 正反射ベクトルか中間ベクトルか

正反射ベクトル



$L$  の反射ベクトル  $R$  と視線ベクトル  $V$  がなす角  $\alpha_r$

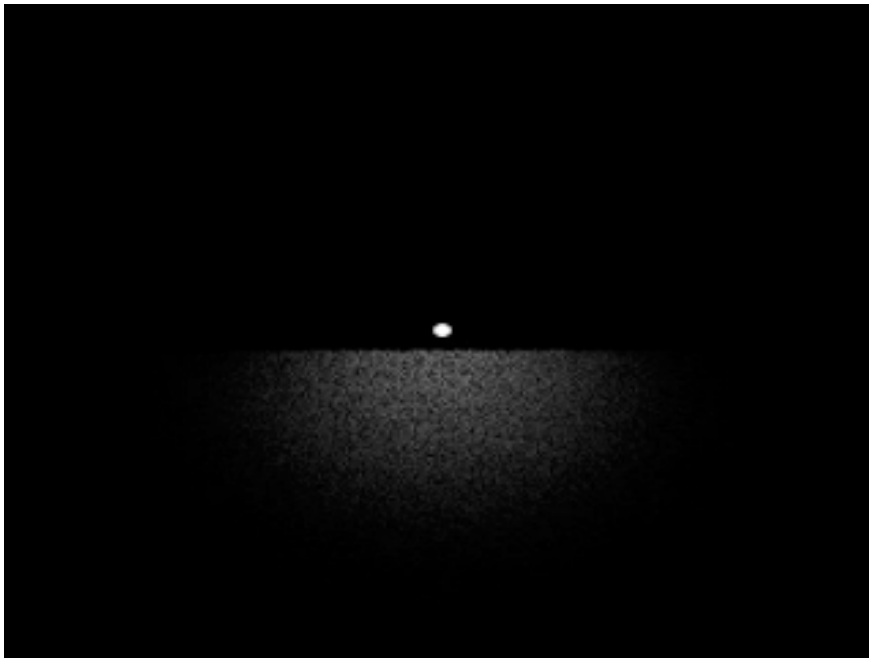
中間ベクトル



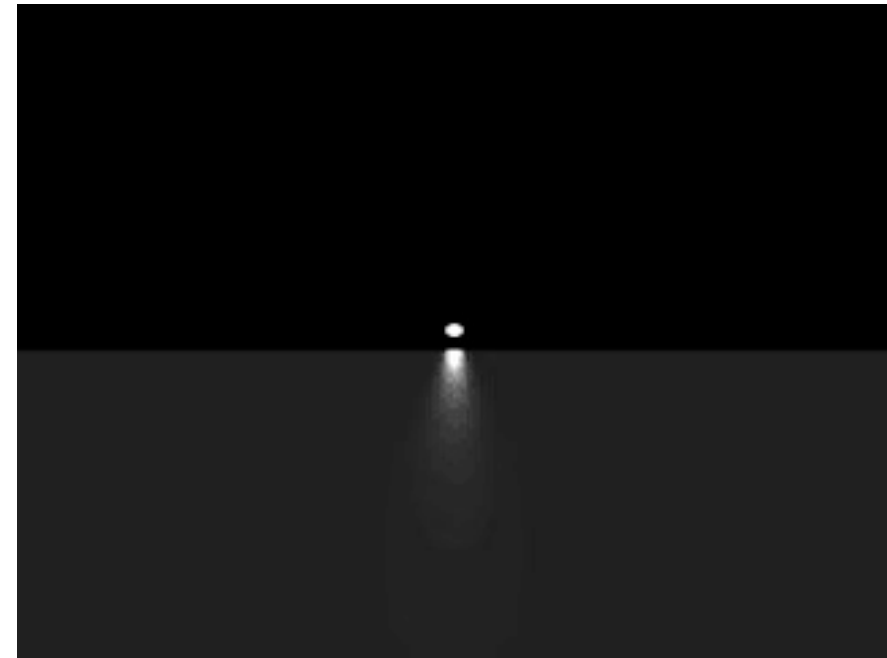
$L$  と  $V$  の中間ベクトル  $H$  と法線ベクトル  $N$  がなす角  $\theta_h$

# レンダリング結果の違い

正反射ベクトルによるハイライト



中間ベクトルによるハイライト



篠原 靖知:“粗い物体の表面形状計測に基づく陰影付けモデルの決定および樹脂成型物の質感設計への応用,” 和歌山大学システム工学部卒業論文 (2001)

# 現実のシーン



# Oren-Nayer BRDF

- 拡散反射面 (Lambertian facets) に微小面理論を適用

$$f(\mathbf{L}, \mathbf{V}) = \frac{c_{diff}}{\pi} (A + B \overline{\cos} \phi \sin(\min(\theta_i, \theta_o)) \tan(\max(\theta_i, \theta_o)))$$

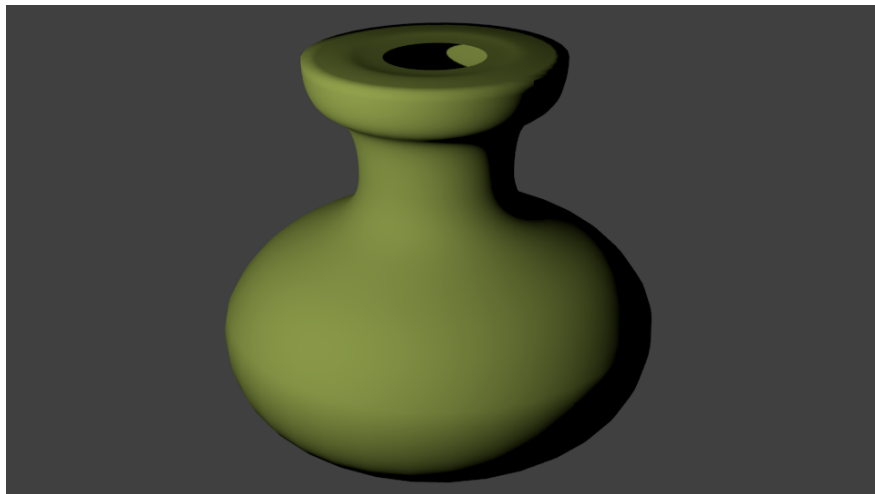
$$A = 1 - 0.5 \frac{\sigma^2}{\sigma^2 + 0.33}$$

$$B = 0.45 \frac{\sigma^2}{\sigma^2 + 0.09}$$

粗さ  $s$  は面全体の法線ベクトルと  
微小面の法線ベクトルのなす角の  
標準偏差

粗さ  $s$

$s = 0.0$



$s = 3.0$



# 実装

$$\mathbf{V}_{proj} = \mathbf{V} - \mathbf{N}(\mathbf{N} \cdot \mathbf{V})$$

$$\mathbf{L}_{proj} = \mathbf{L} - \mathbf{N}(\mathbf{N} \cdot \mathbf{V})$$

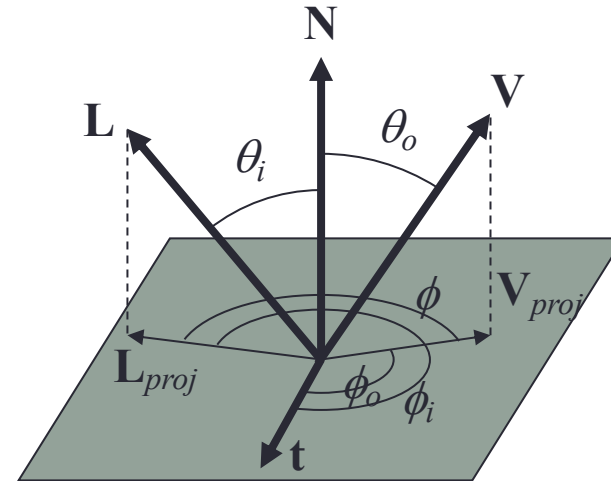
$$\cos \phi = \frac{\mathbf{V}_{proj}}{|\mathbf{V}_{proj}|} \cdot \frac{\mathbf{L}_{proj}}{|\mathbf{L}_{proj}|}$$

$$f(\mathbf{L}, \mathbf{V}) = \frac{c_{diff}}{\pi} (A + B \overline{\cos} \phi \sin(\min(\theta_i, \theta_o)) \tan(\max(\theta_i, \theta_o)))$$

$\sin \theta$  も  $\tan \theta$  も  $0 < \theta < \pi/2$  では単調増加

$$\sin \theta_i = \frac{|\mathbf{L}_{proj}|}{|\mathbf{L}|}, \sin \theta_o = \frac{|\mathbf{V}_{proj}|}{|\mathbf{V}|}, \tan \theta_i = \frac{|\mathbf{L}_{proj}|}{\mathbf{N} \cdot \mathbf{L}}, \tan \theta_o = \frac{|\mathbf{V}_{proj}|}{\mathbf{N} \cdot \mathbf{V}}$$

$$f(\mathbf{L}, \mathbf{V}) = \frac{c_{diff}}{\pi} (A + B \overline{\cos} \phi \min(\sin \theta_i, \sin \theta_o) \max(\tan \theta_i, \tan \theta_o))$$



# 異方性をもつ面

- 面の粗さが方向によって異なる



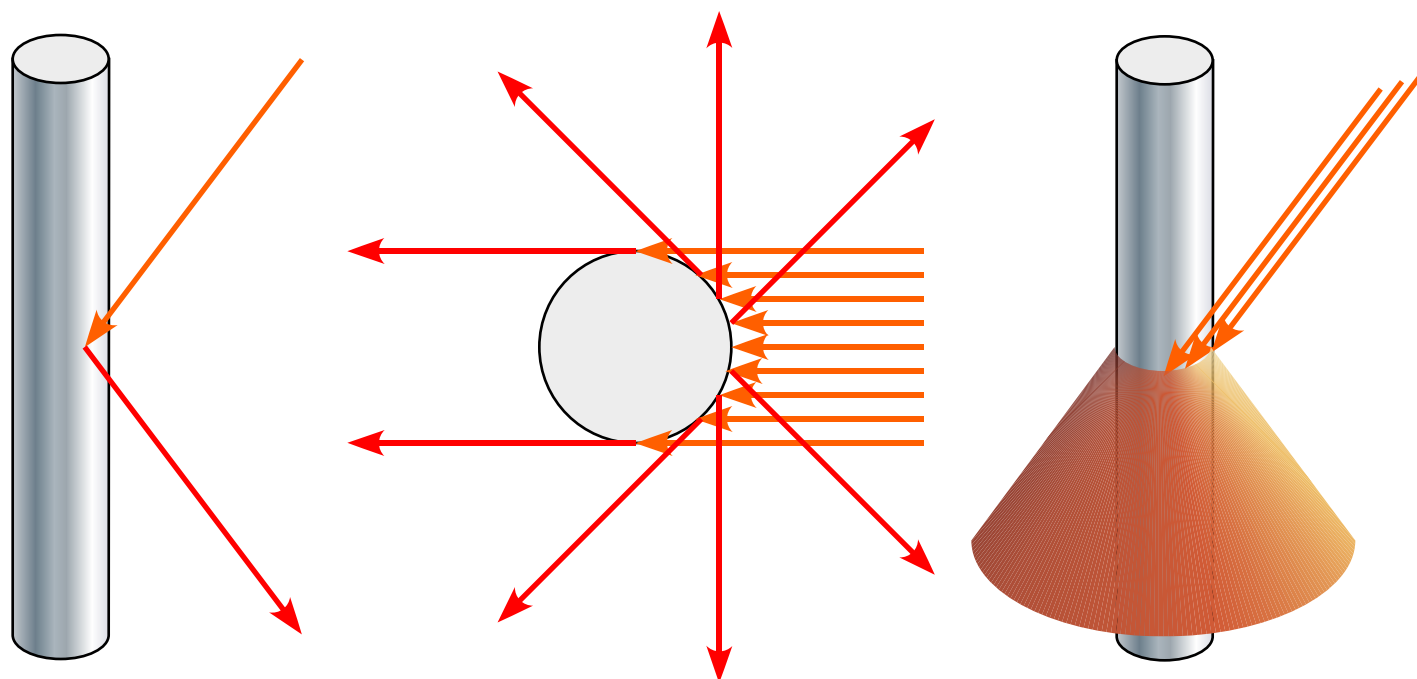
(自宅の鍋)



(嫁さまの頭)

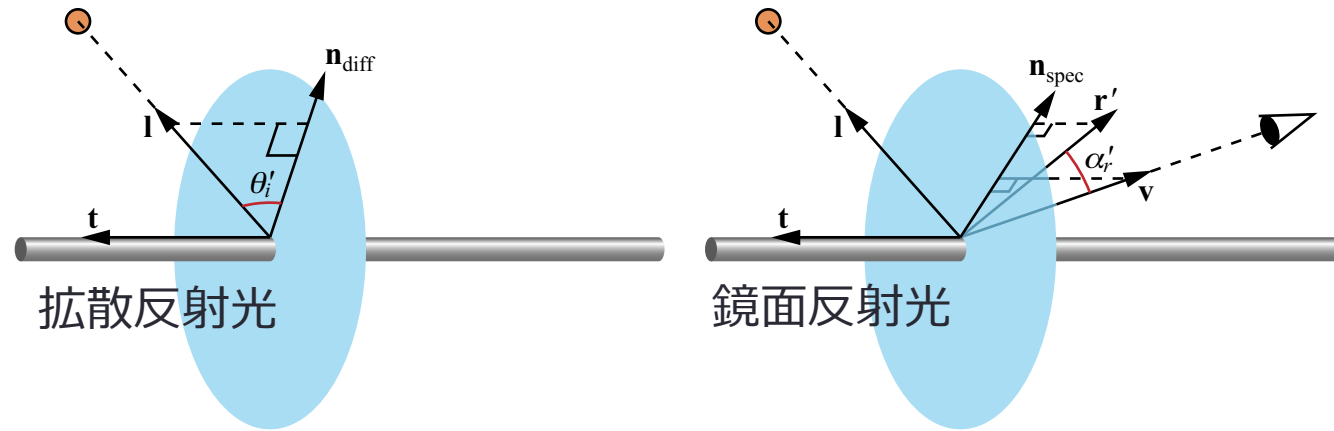
反射光の広がりが方向によって異なる

# 円柱に対する鏡面反射



# 異方性 BRDF

- The Kajiya-Kay BRDF (The Banks BRDF)



$$\overline{\cos} \theta'_i = \sqrt{1 - (\mathbf{l} \cdot \mathbf{t})^2}$$

$\theta'_i$  :  $\mathbf{l}$  と軸  $\mathbf{t}$  に直交する面がなす角

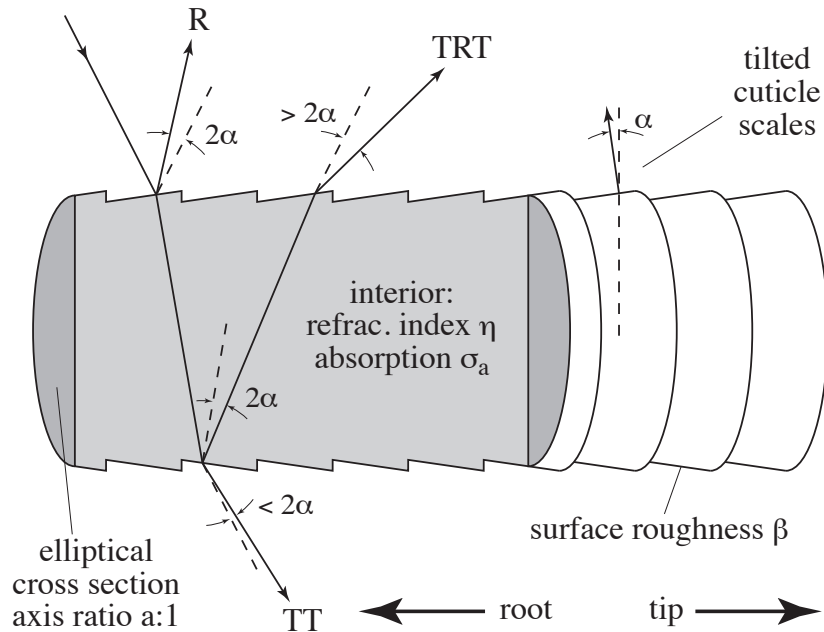
$\mathbf{t}$  : 円柱の軸ベクトル

これを輝き係数で  
べき乗する

$$\overline{\cos} \alpha'_r = \max \left( \sqrt{1 - (\mathbf{l} \cdot \mathbf{t})^2} \sqrt{1 - (\mathbf{v} \cdot \mathbf{t})^2} - (\mathbf{l} \cdot \mathbf{t})(\mathbf{v} \cdot \mathbf{t}), 0 \right)$$

$\alpha'_i$  :  $\mathbf{v}$  と、円柱による反射光ベクトル  $\mathbf{r}'$  がなす角

# Marschner のモデル



Photo



Kajiya-Kay



Marschner

Marschner, Stephen R., et al. "Light scattering from human hair fibers." *ACM Transactions on Graphics (TOG)*. Vol. 22. No. 3. ACM, 2003.

# 実測にもとづく BRDF

- 計測方法
  - ゴニオメーター (Goniometer)
  - imaging bidirectional reflectmeter
  - イメージベースド手法
- データベース
  - Cornell University Program of Computer Graphics Measurement Data
    - <http://www.graphics.cornell.edu/online/measurements/>
  - Colombia-Utrecht Reflectance and Texture Database
    - <http://www.cs.columbia.edu/CAVE/software/curet/>
  - MIT Anisotropic BRDF Measurement Data
    - <http://people.csail.mit.edu/addy/research/brdf/>

# 計測 BRDF の表現

- BRDF の測定結果
  - 巨大で密に標本化された 4 次元データ
    - SVBRDF では 6 次元
  - ノイズを含んでいる
    - そのままではレンダリングに使えない
- 計測値と一致する解析的な BRDF モデルを選択しパラメータを算出する
  - 非常にコンパクトな表現になる
  - レンダリングも速い
  - BRDF モデルの選択は単純だとは限らない
- 複数の BRDF の項の重み付け和で表現する
  - Lafourture BRDF

# BRDFのテーブル化

- BRDFは4変数の関数
- 多数の仰角と方位角に対するデータを配列に格納し、必要なBRDF値を補間ににより求める
  - 実験的に取得されたBRDF値にも応用できる
    - 実験データに含まれる雑音やデータの欠落の取り扱いに注意が必要である
  - 等方性の表面においてBRDFは3変数で表せる
    - 3次元テクスチャマップが応用できる
    - それでも非常にメモリを食う
- BRDFデータのコンパクト化
  - 以下のことを回避できる
    - 精密な理論モデルの評価（計算）コスト
    - 記憶容量の要求
    - 取得したデータの雑音の影響

# 因子分解による方法

- BRDFは4変数の関数
  - 入射角の仰角と方位角
  - 反射角の仰角と方位角
- 因子分解による近似
  - 4変数関数を二つの2変数関数の積の和で近似する

$$f(\theta_i, \phi_i, \theta_o, \phi_o) \approx \sum_{j=1}^n p_j(\theta_i, \phi_i) q_j(\theta_o, \phi_o)$$

# テクスチャの応用

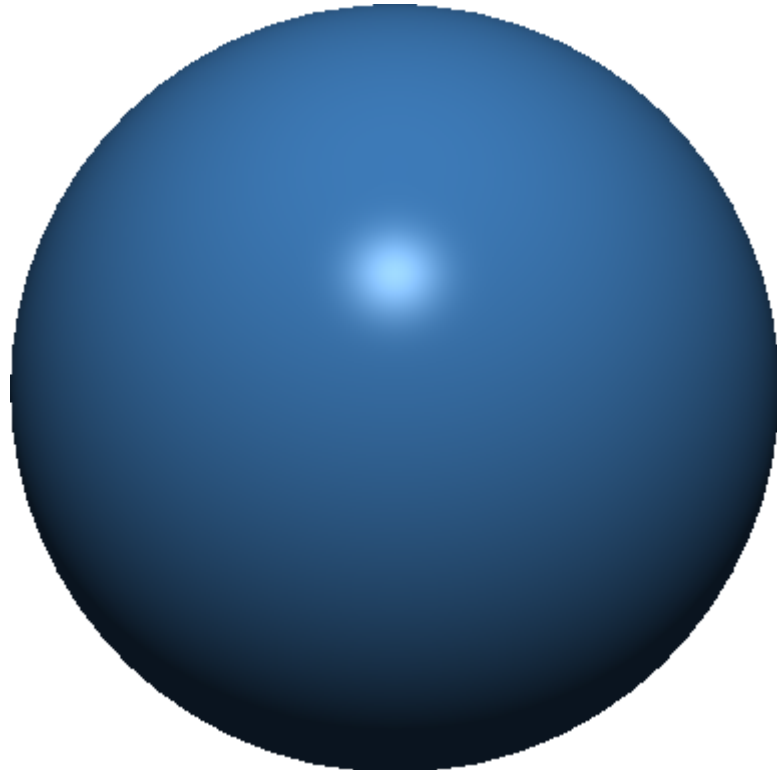
- 関数  $p, q$  をテクスチャで表す
  - $n$  を大きくしなければならないかもしれない
- BRDF を可能な限り少ない項で表現する
  - 多くの材質において大体納得できる結果を得るのに高々一組 ( $n = 1$ ) の 2 枚のテクスチャで充分
    - McCool, "Homomorphic Factorization of BRDFs for High-Performance Rendering," SIGGRAPH '01 Proceedings, 2001.
    - Wynn, "Real-Time BRDF-based Lighting using Cube-Maps," NVIDIA White Paper, 2001.
- 問題点
  - 光源ごとに少なくとも 2 枚のテクスチャアクセスが必要
  - 光源として点光源と平行光線しか扱えない

# 宿題

- Kajiya-Kay モデルを用いて異方性反射面の陰影付けを行ってください.
  - 次のプログラムは画素単位の陰影付けを行っており, 陰影付けモデルには Phong のモデルを使用しています.
    - <https://github.com/tokoik/ggsample07>
  - この陰影付けモデルを Kajiya-Kay のモデルに変更してください.
  - 表面の「円柱」の軸は接線ベクトル  $t$  方向を向いているとします.
  - $t$  はフラグメントシェーダ ggsample07.frag 内で求めてあります.
- ggsample07.frag をアップロードしてください

# 宿題プログラムの生成画像

Blinn-Phong モデルの陰影



Kajiya-Kay モデルの陰影

